



1/41

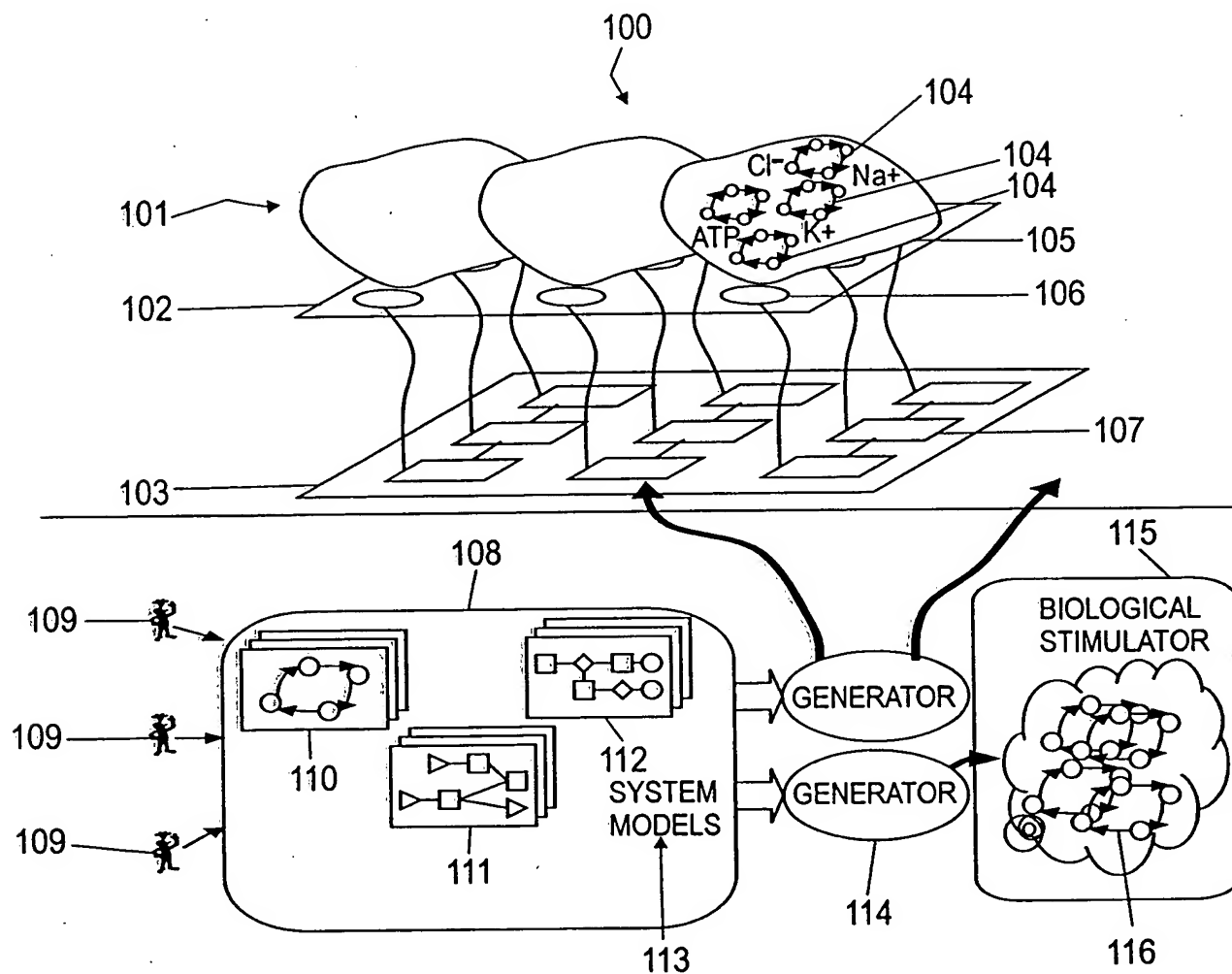


Fig. 1

2/41

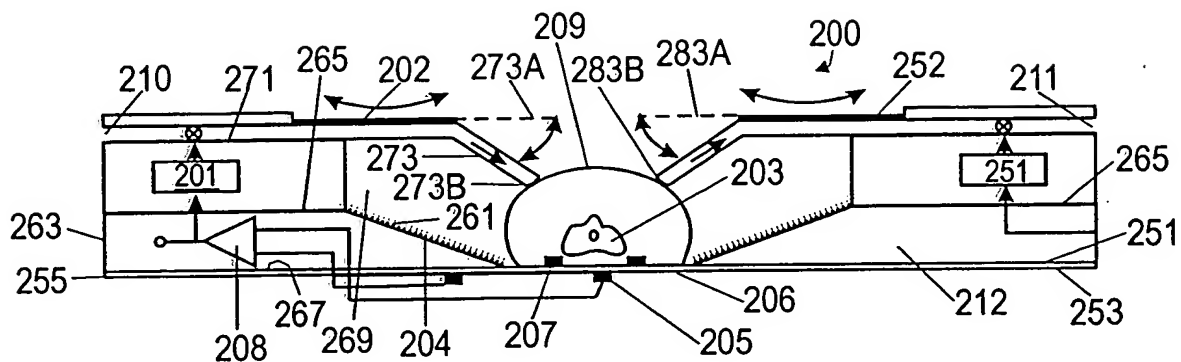


Fig. 2A

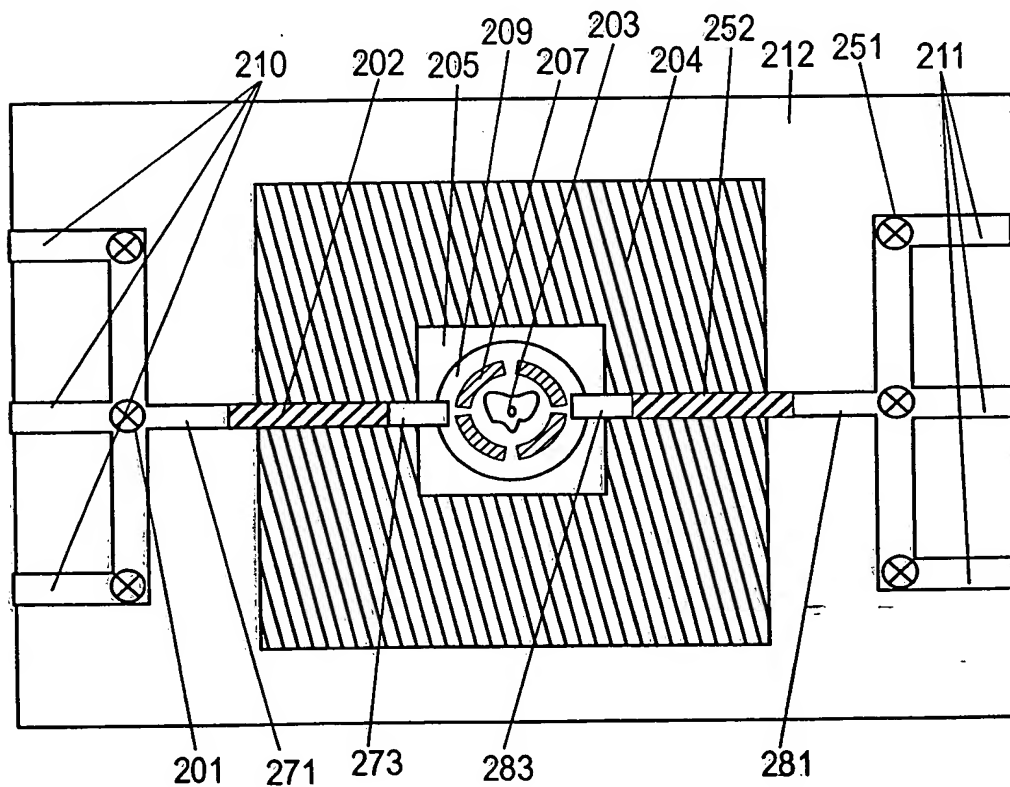


Fig. 2B

3/41

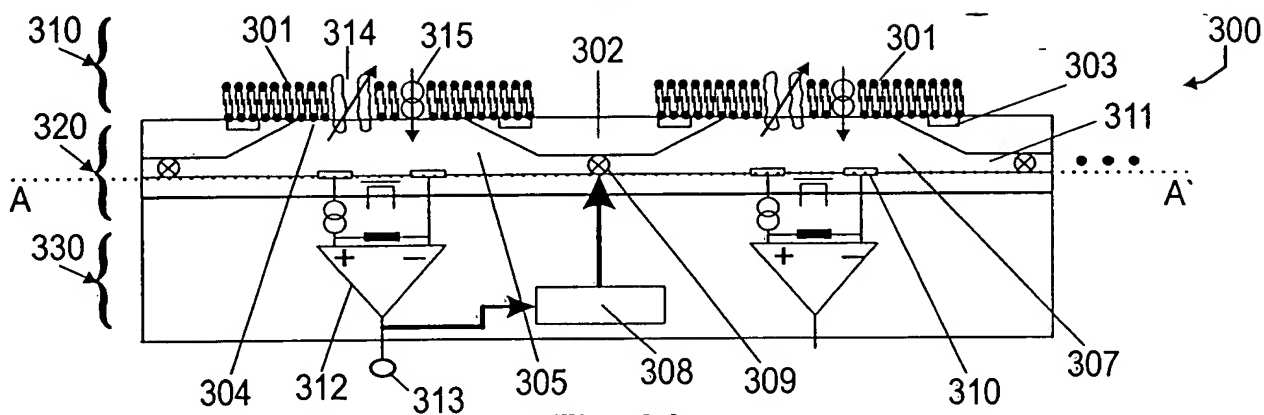


Fig. 3A

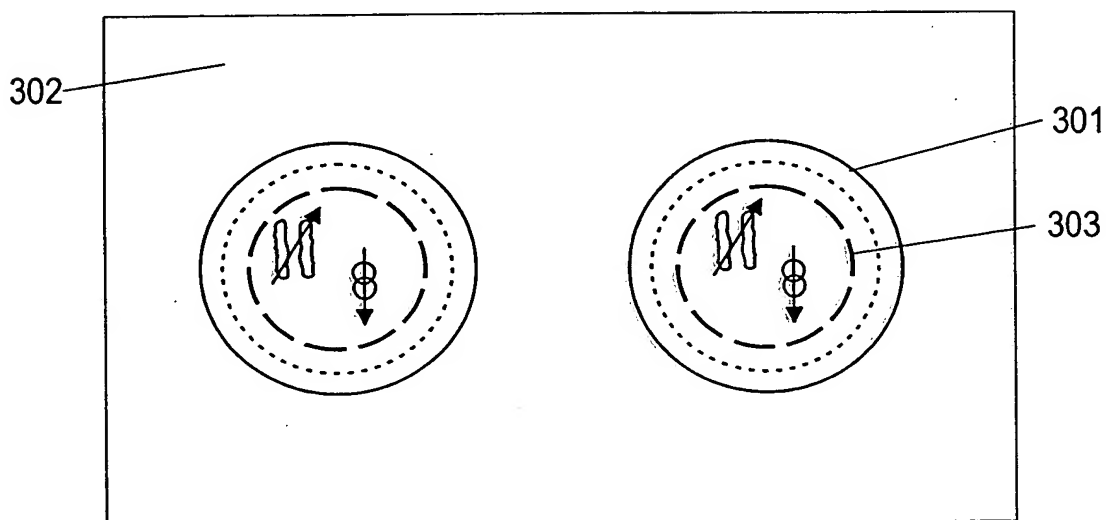


Fig. 3B

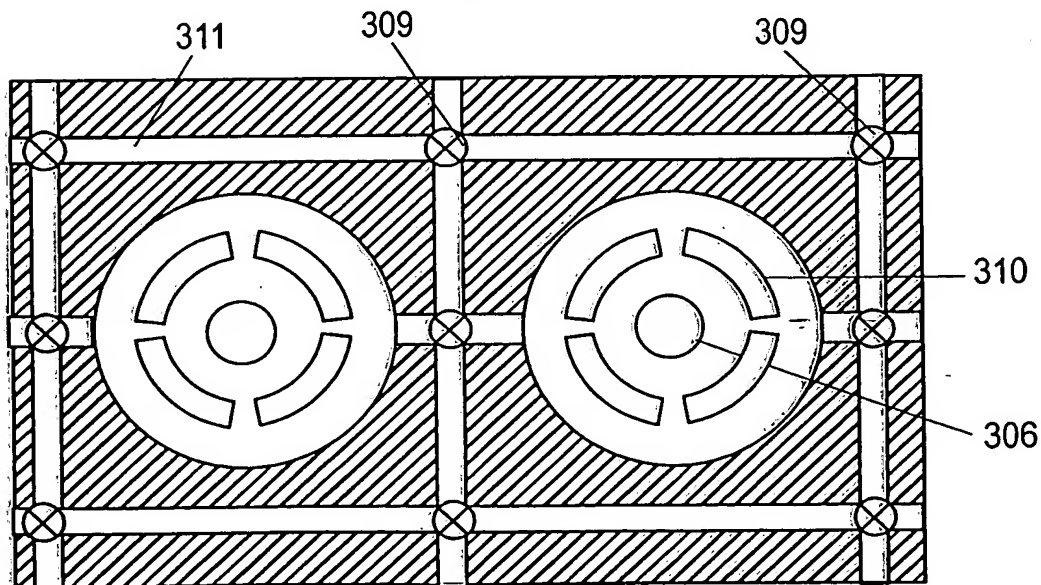


Fig. 3C

4/41

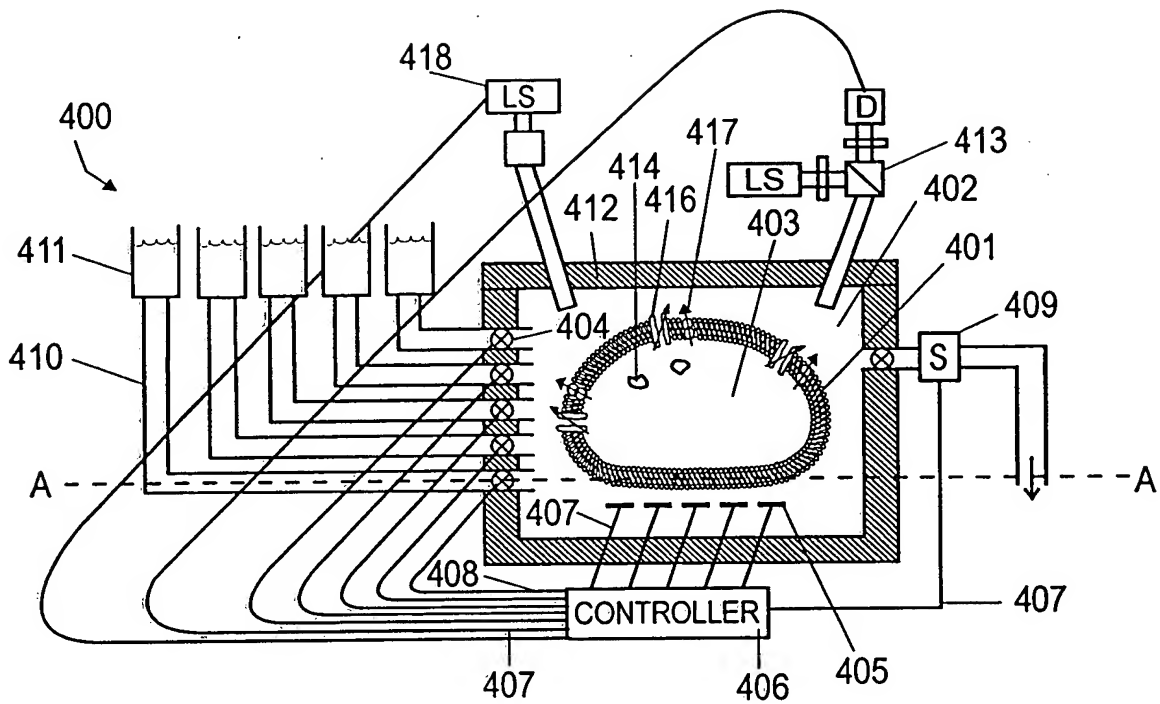


Fig. 4A

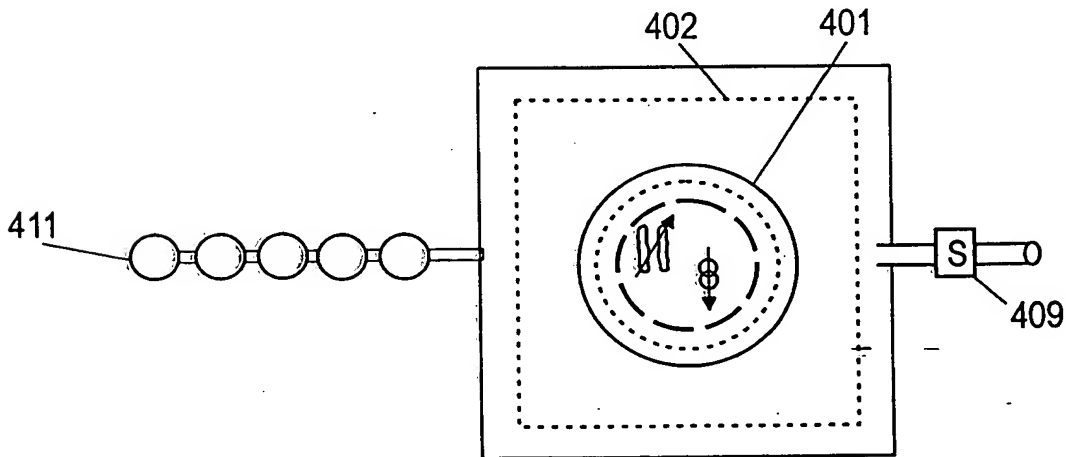


Fig. 4B

5/41

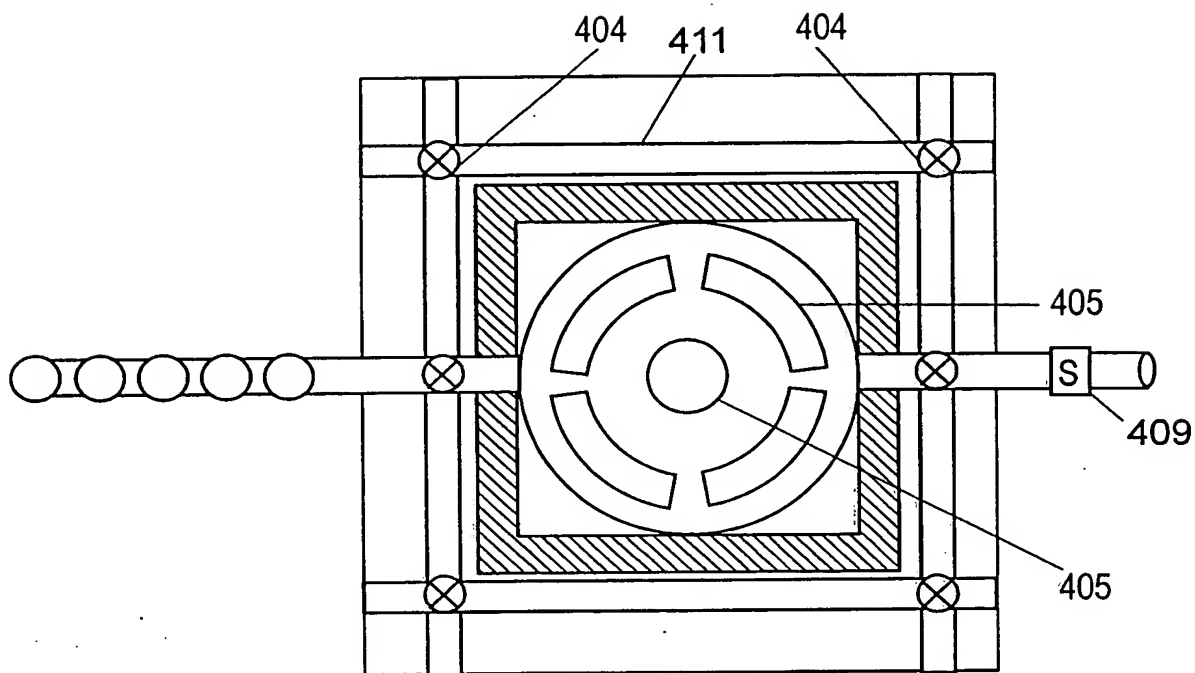


Fig. 4C

6/41

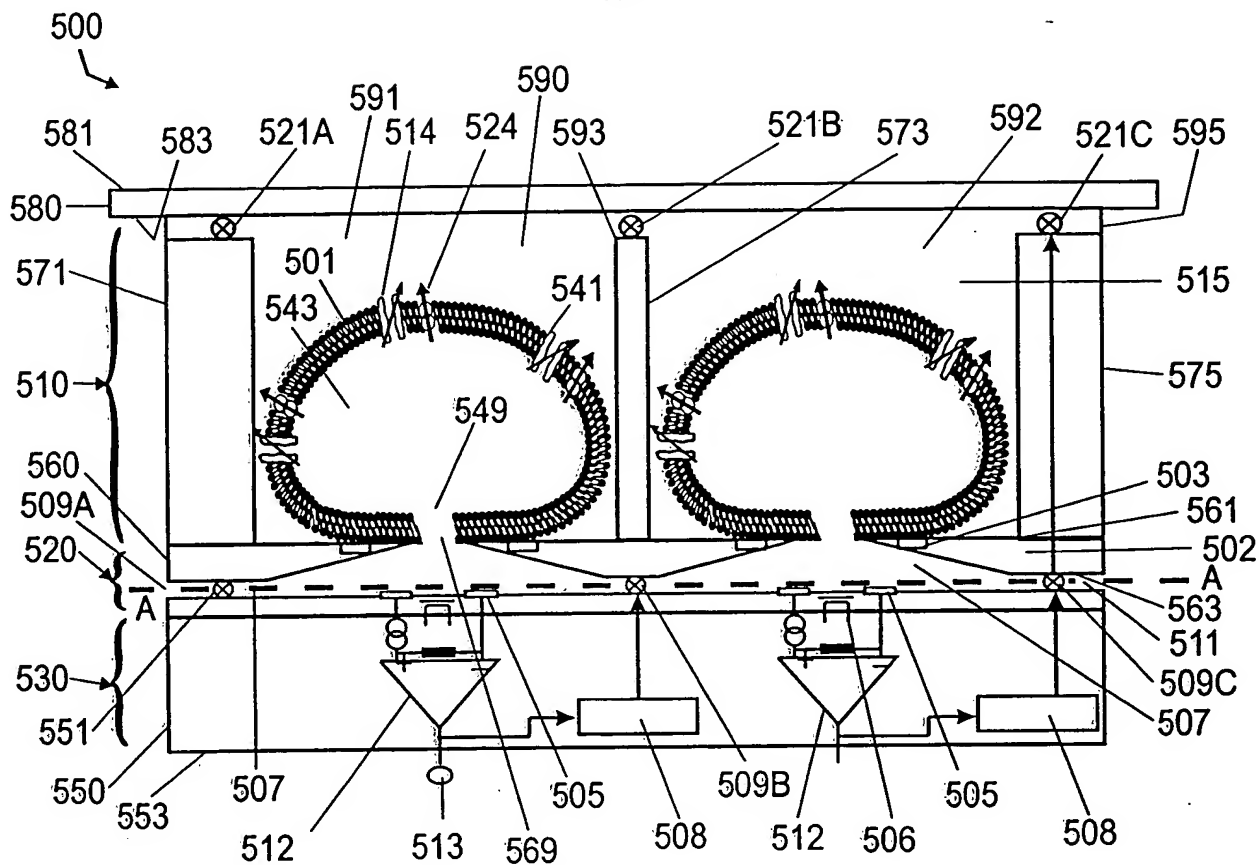


Fig. 5A

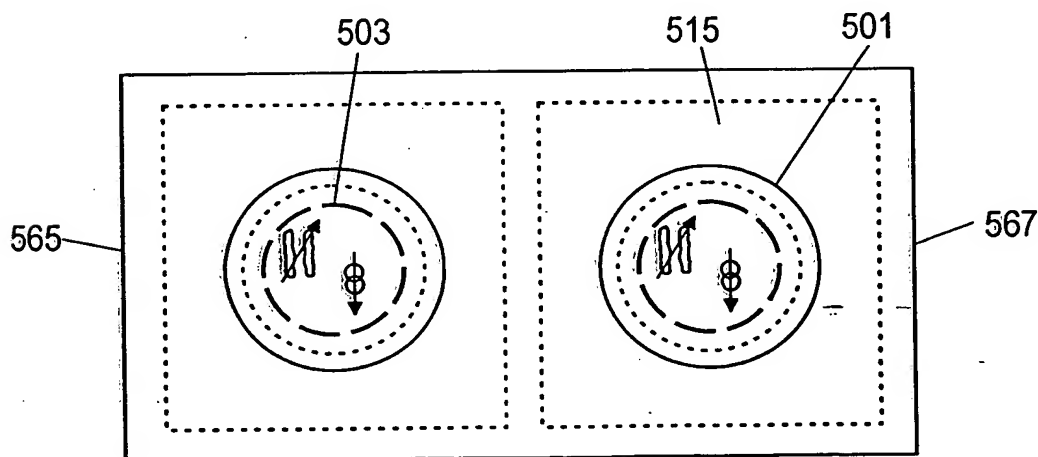


Fig. 5B

7/41

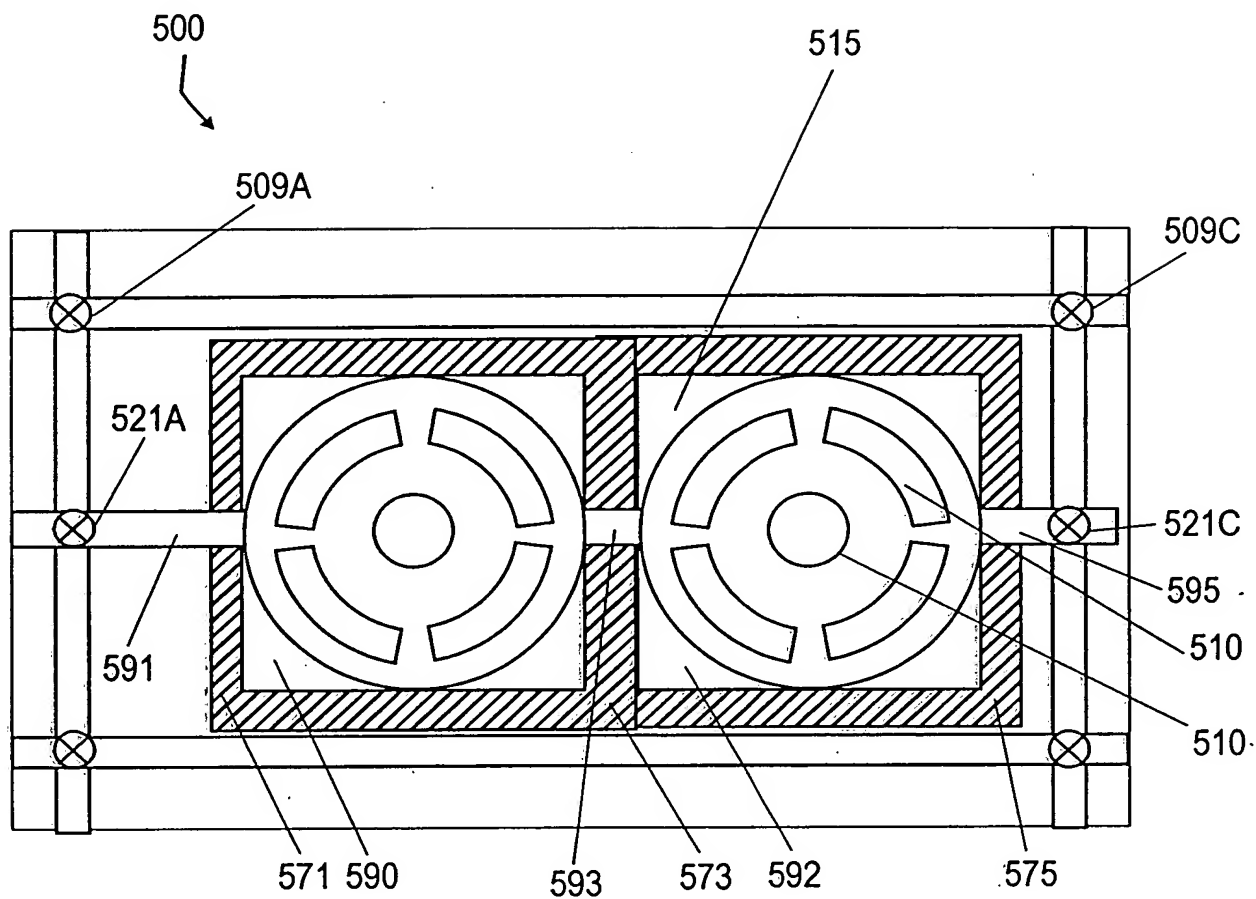


Fig. 5C

8/41

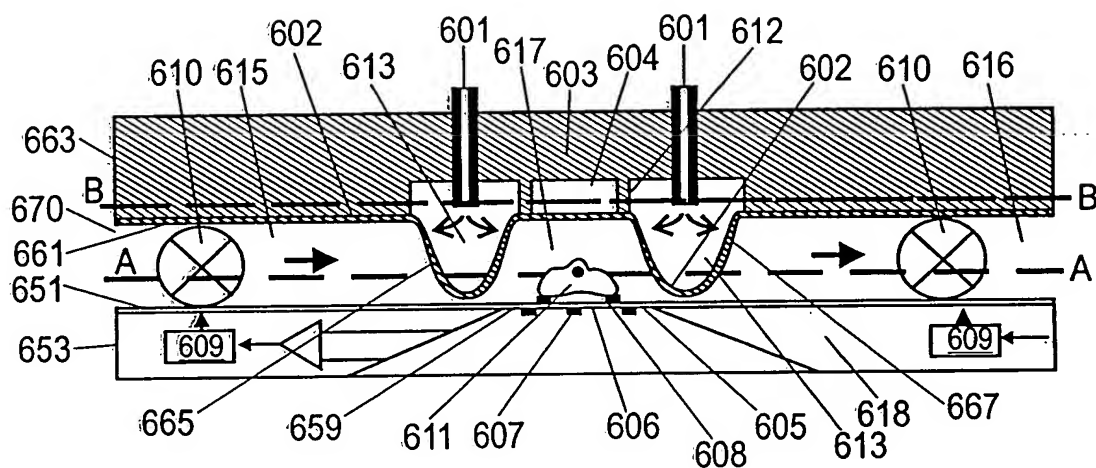


Fig. 6A

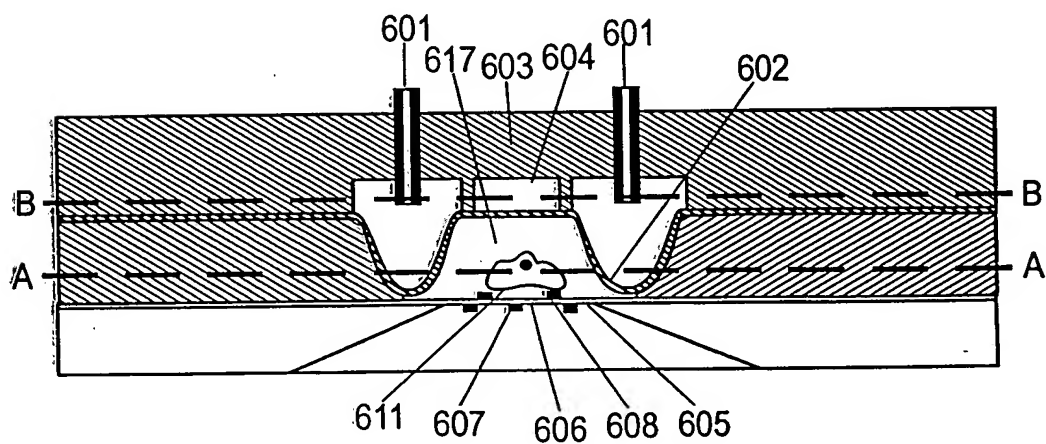


Fig. 6B



9/41

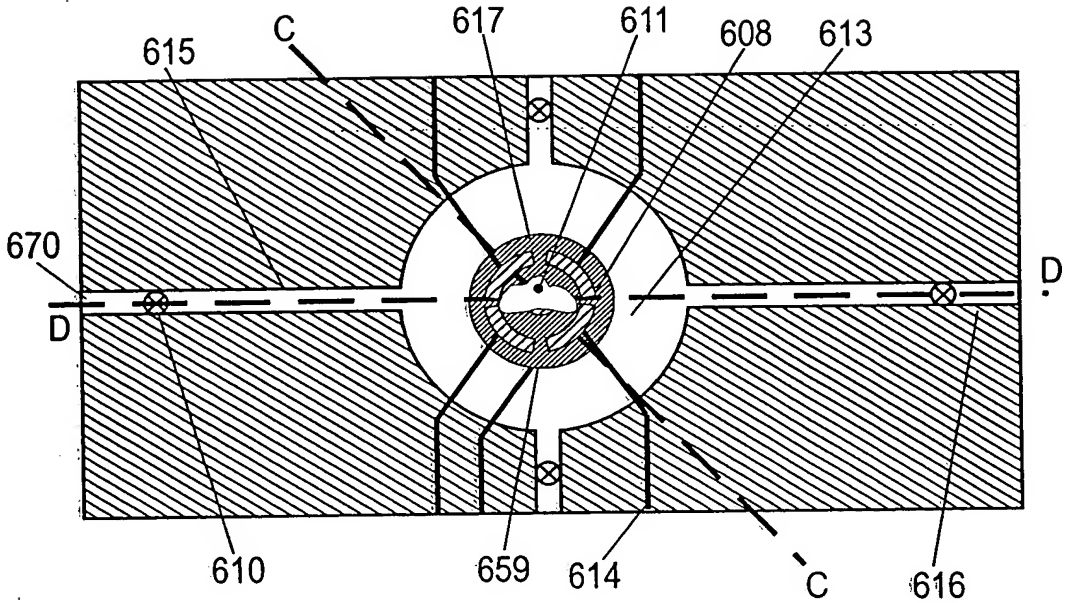


Fig. 6C

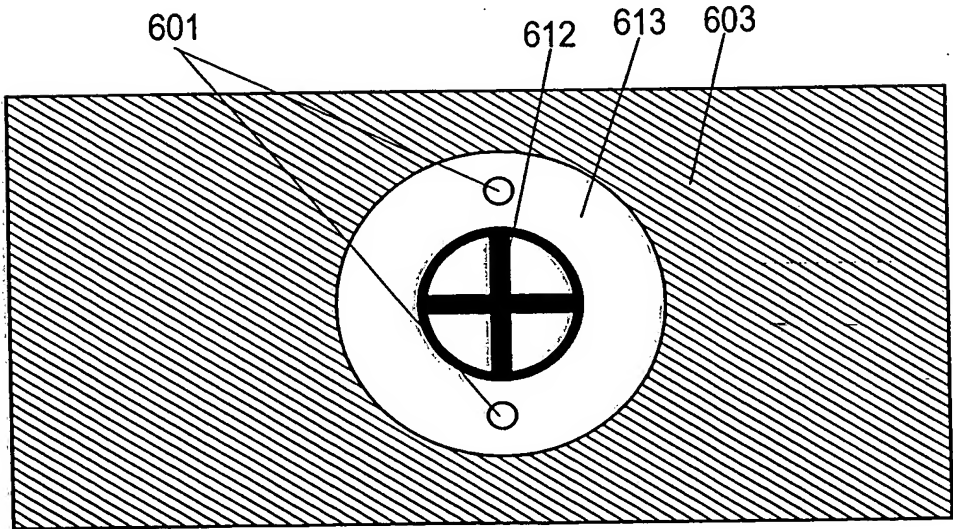


Fig. 6D

10/41

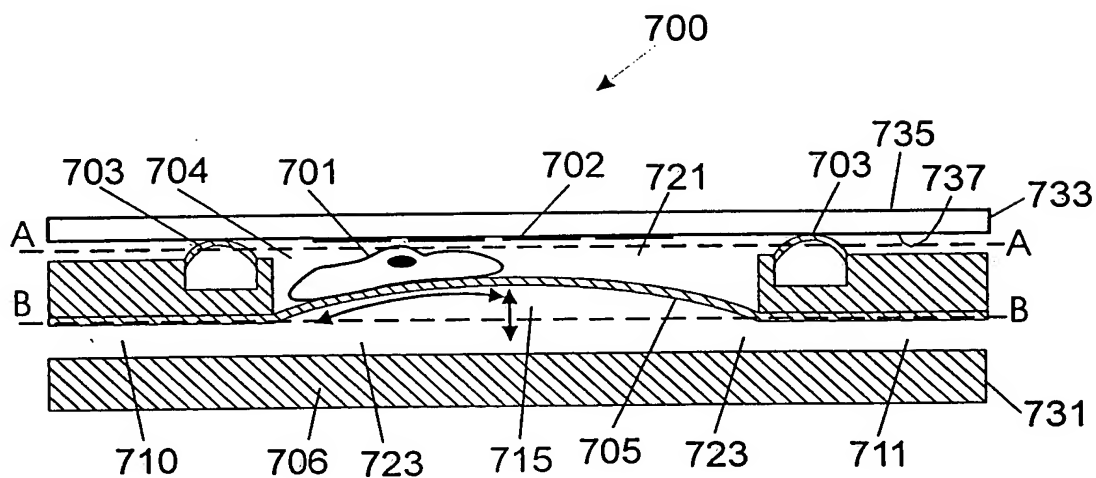


Fig. 7A

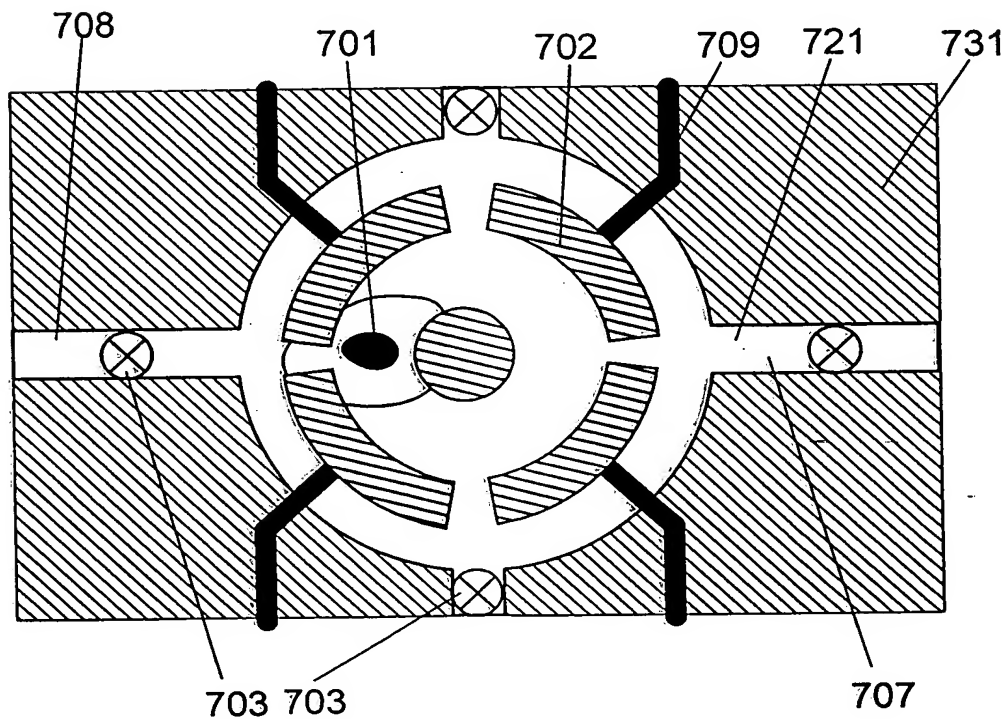


Fig. 7B

11/41

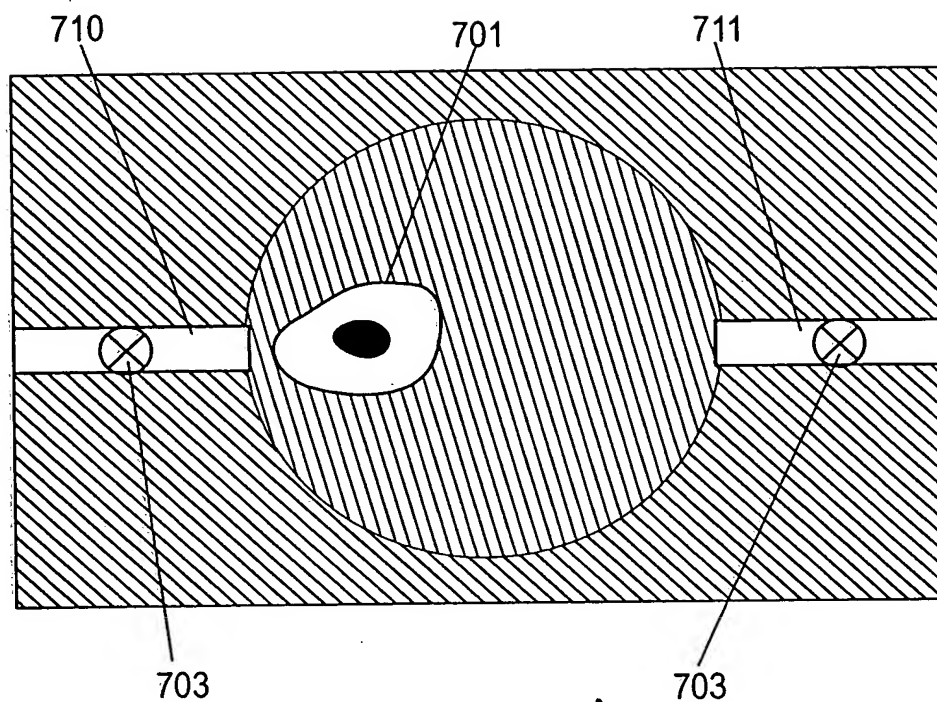


Fig. 7C

12/41

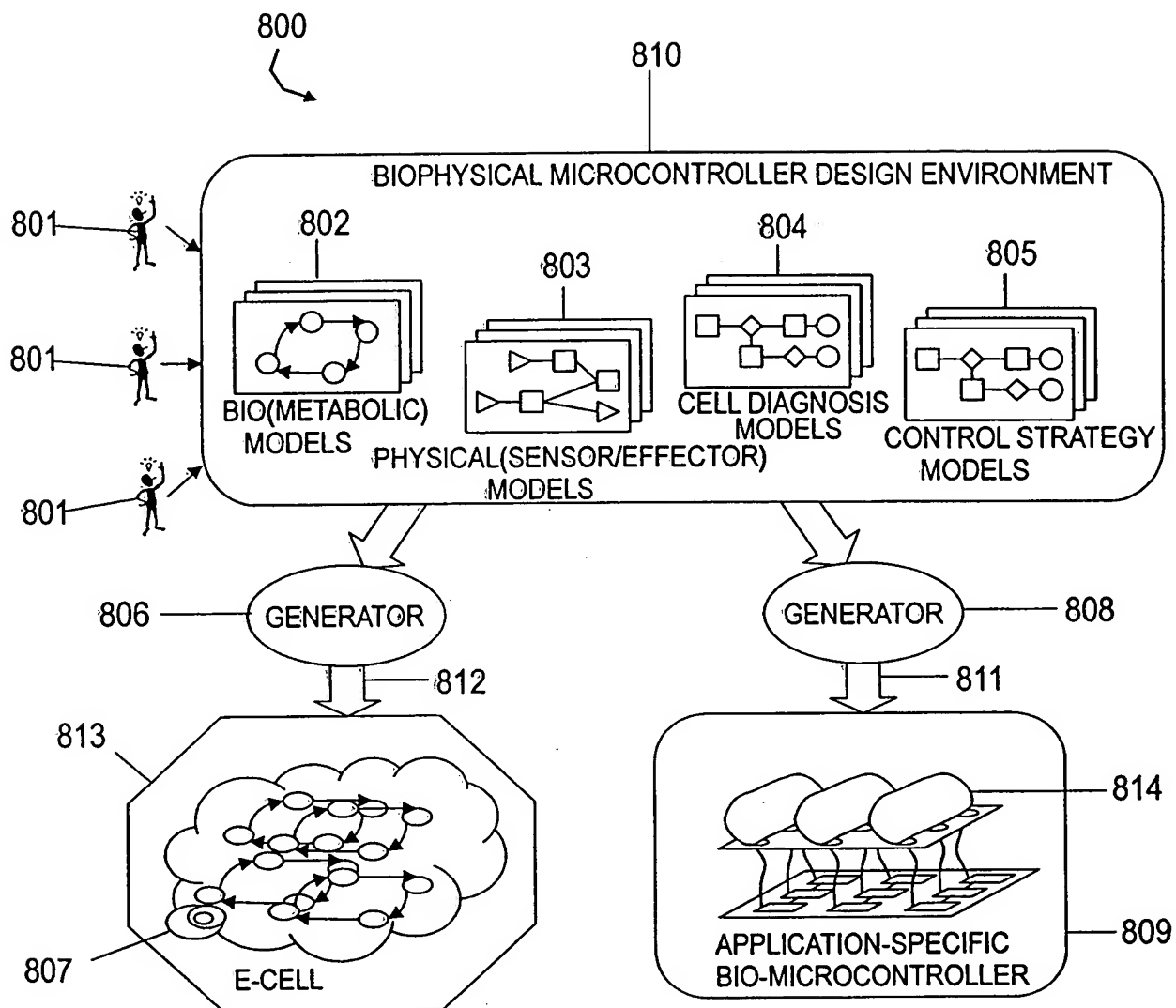


Fig. 8

13/41

DEVICE	MEAS	AGENTS		
		RICIN	VX	UNKNOWN
PICOALORIMETER	TEMP	LEV + 5%, SNR 20	LEV - 10%, SNR 3	
	pO <sub>2</sub>		LEV 10%, SNR 3	LEV 10%, SNR 3
NANOBIOREACTOR	Redox	SLOPE > SNR 20	SLOPE > 20 SNR 5	SLOPE < 0 SNR 2
	pH	LEV + 25%, SNR 4	LEV + 10%, SNR 4	LEV + 25%, SNR 4
AUTOPATCHCLAMP	Na <sup>+</sup>	LEV + 10 SNR 3	LEV - 10 SNR 3	LEV + 10 SNR 3
	K <sup>+</sup>	LEV + 15 SNR 3	LEV + 5 SNR 3	LEV - 15 SNR 3
	Ca <sup>++</sup>	LEV + 8 SNR 2	LEV + 8 SNR 2	LEV + 8 SNR 2
	GFP	INT + SNR 2	INT + SNR 2	INT - SNR 2
OPTICAL TAGS	&			
	FP	INT - SNR 4	INT + SNR 4	INT - SNR 2
	DNA	POS SNR 7	POS SNR 7	POS SNR 2
	RNA	NEG SNR 2	NEG SNR 2	NEG SNR 2
		LEV - SNR 4	LEV - SNR 4	LEV - SNR 4
		LEV - SNR 2	LEV - SNR 2	LEV - SNR 2
MYOCYTE		LEV - SNR 4	LEV - SNR 4	LEV - SNR 4
		LEV - SNR 6	LEV - SNR 6	LEV - SNR 6
		LEV - SNR 4	LEV - SNR 4	LEV - SNR 4
		LEV - SNR 2	LEV - SNR 2	LEV - SNR 2
		LEV - SNR 6	LEV - SNR 6	LEV - SNR 6
		LEV - SNR 4	LEV - SNR 4	LEV - SNR 4
NEURON				

Fig. 9

14/41

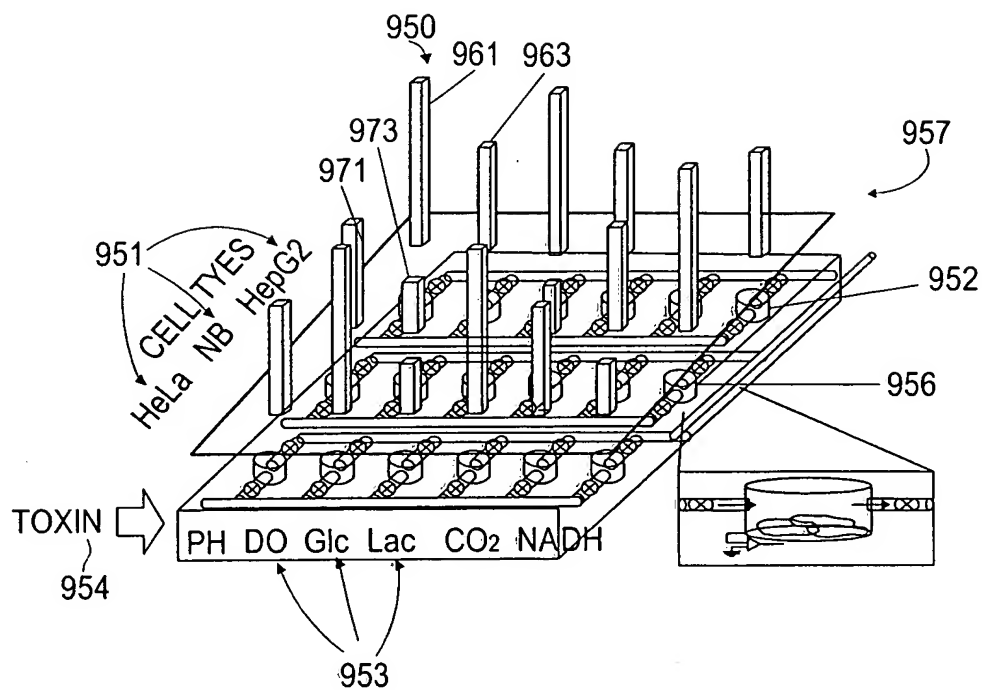


Fig. 9A

15/41

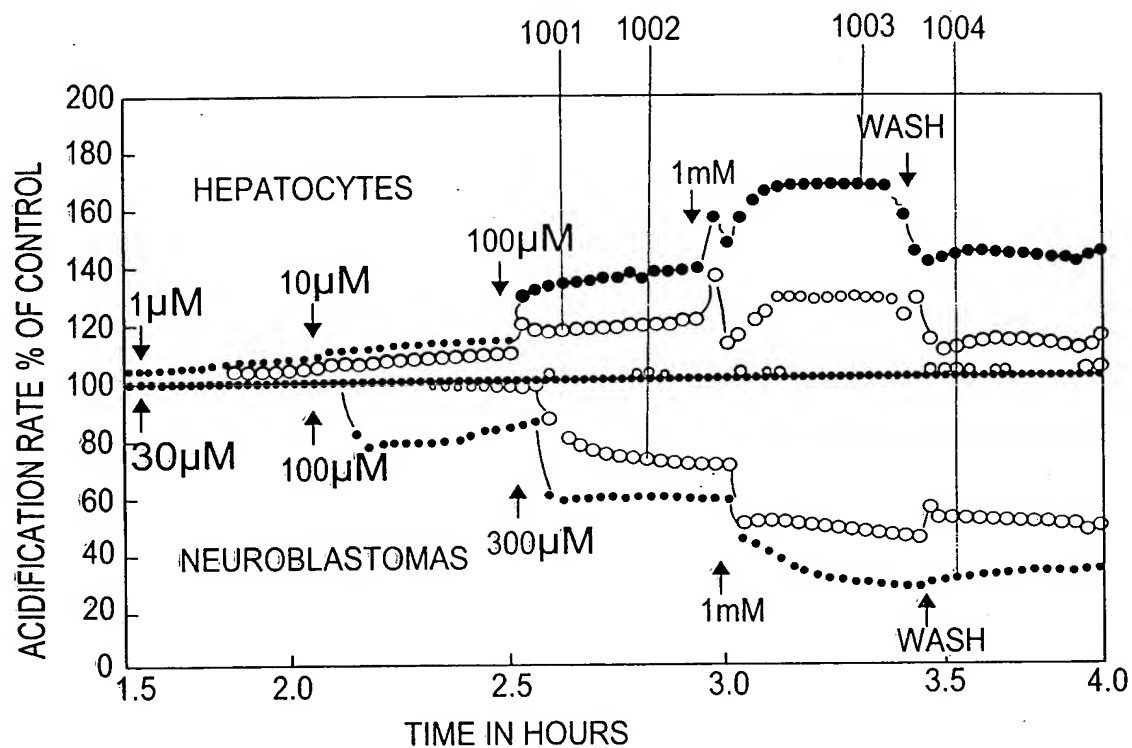


Fig. 10

16/41

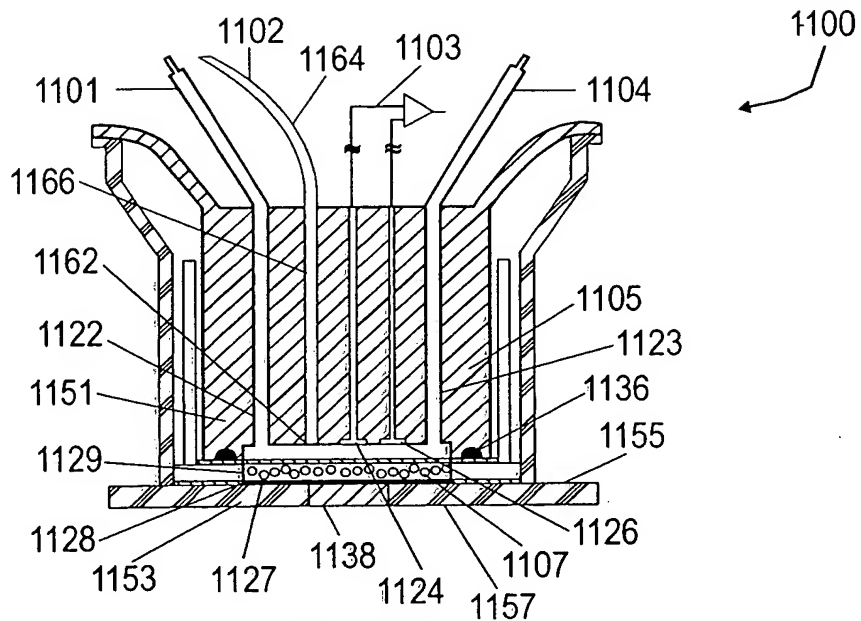


Fig. 11A

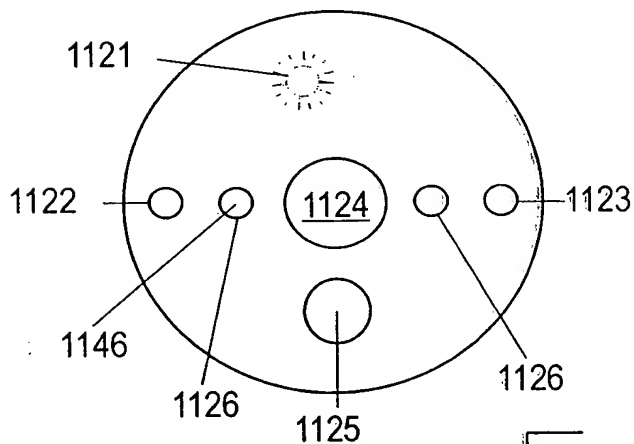


Fig. 11B

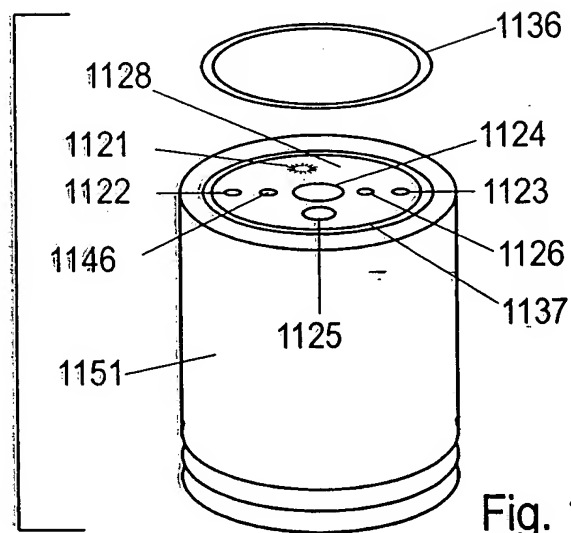
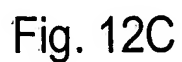
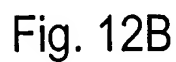
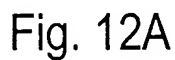


Fig. 11C





18/41

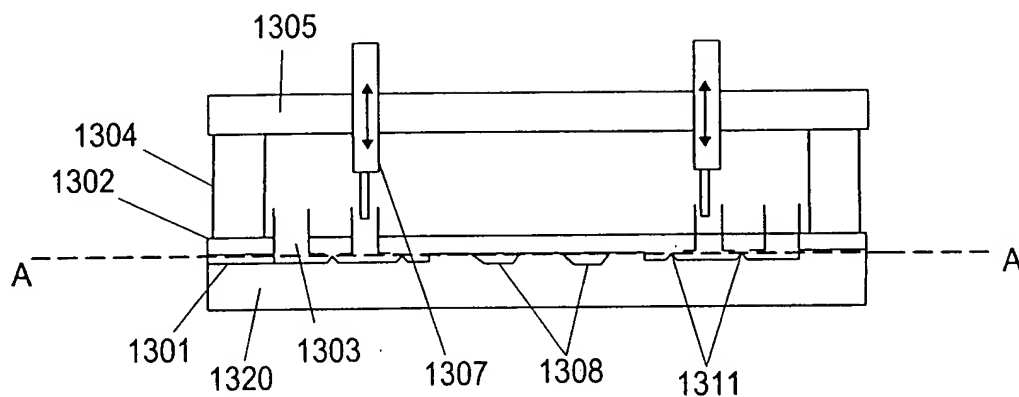


FIG. 13A

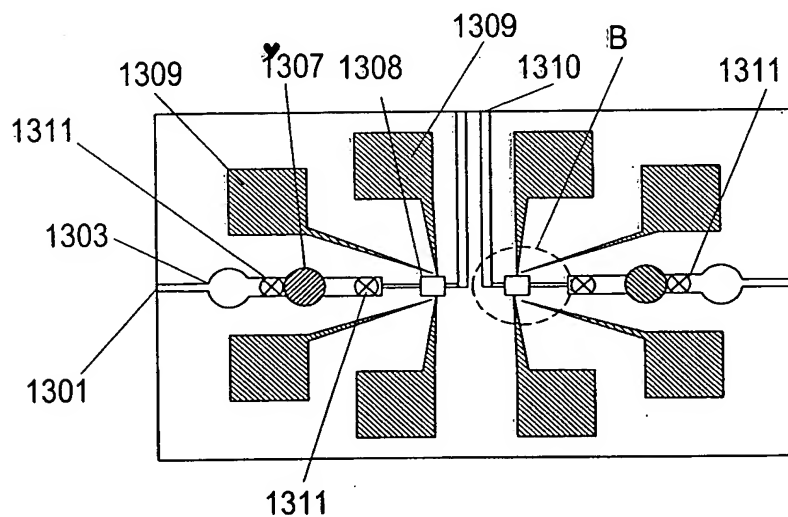


FIG. 13B

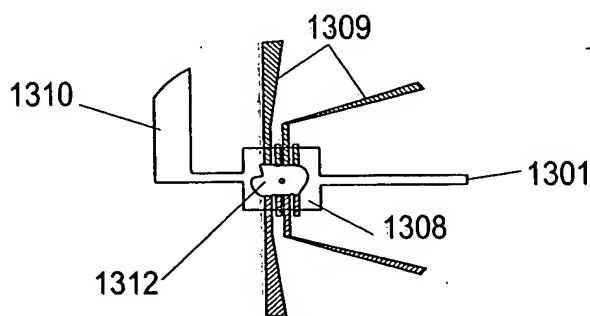


FIG. 13C

19/41

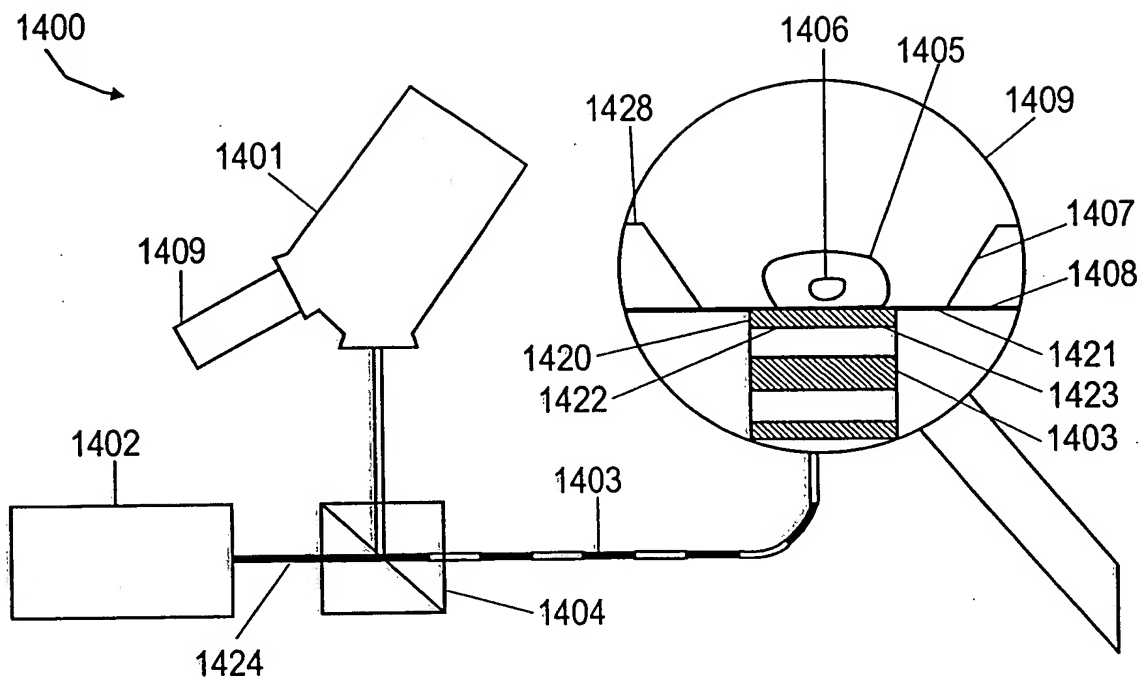


Fig. 14

20/41

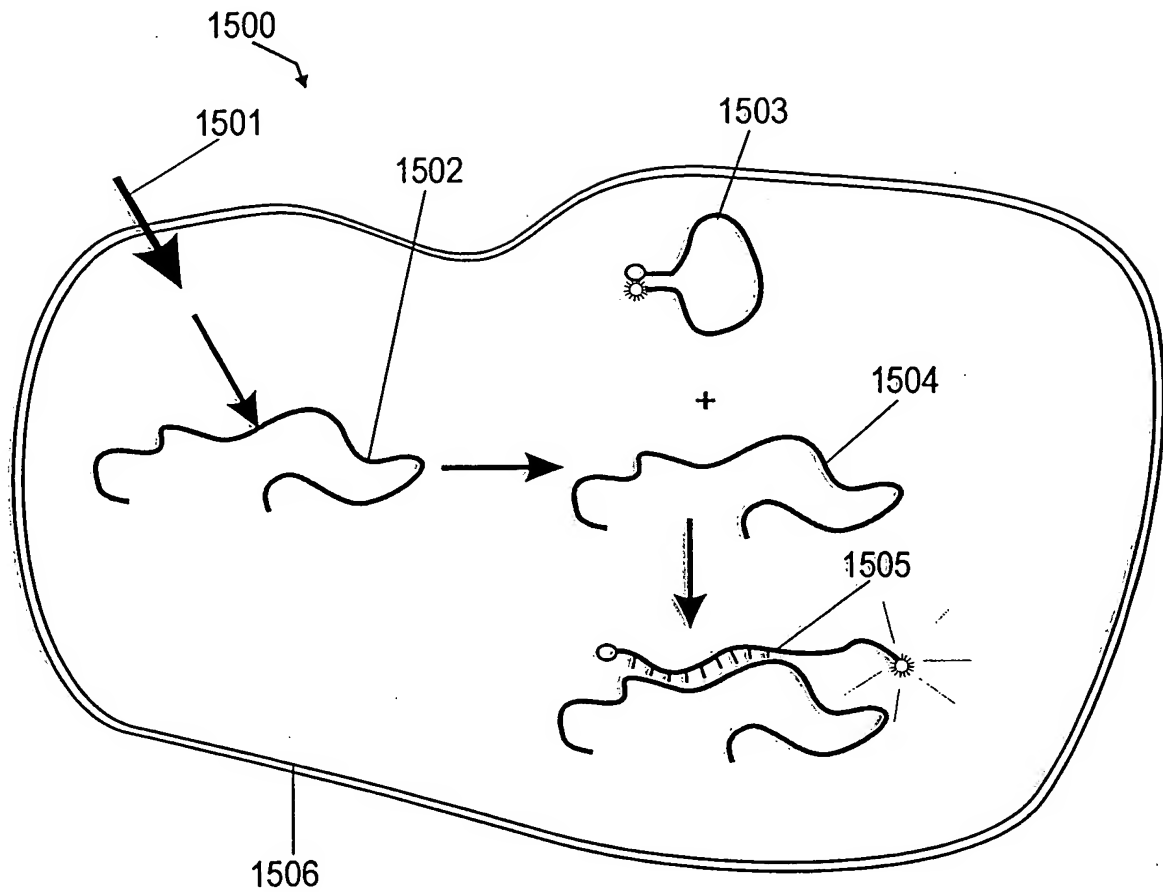


Fig. 15

21/41

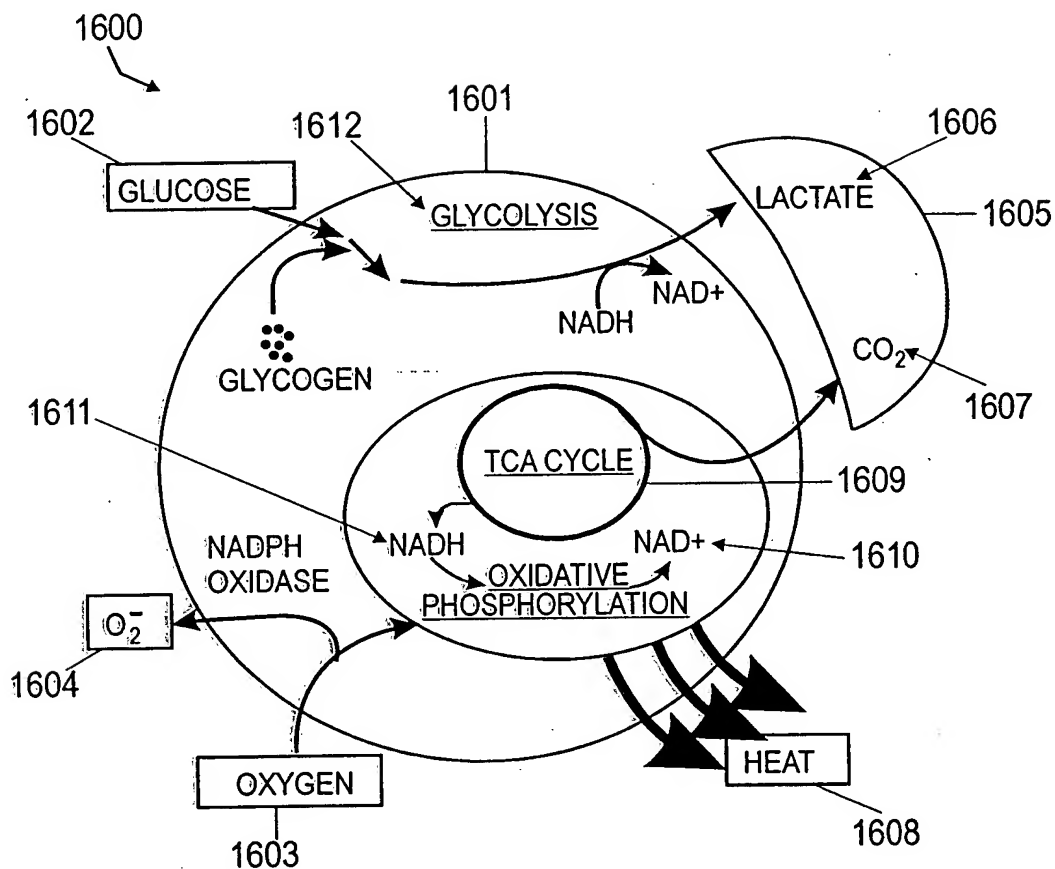


Fig. 16

22/41

1700  
↙

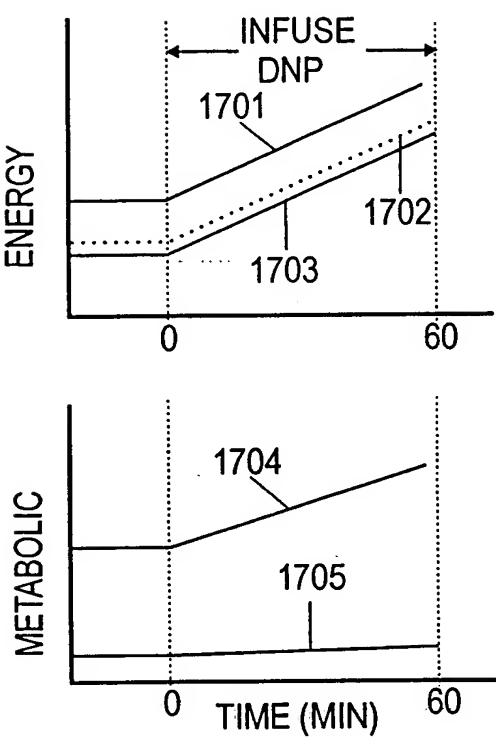


Fig. 17A

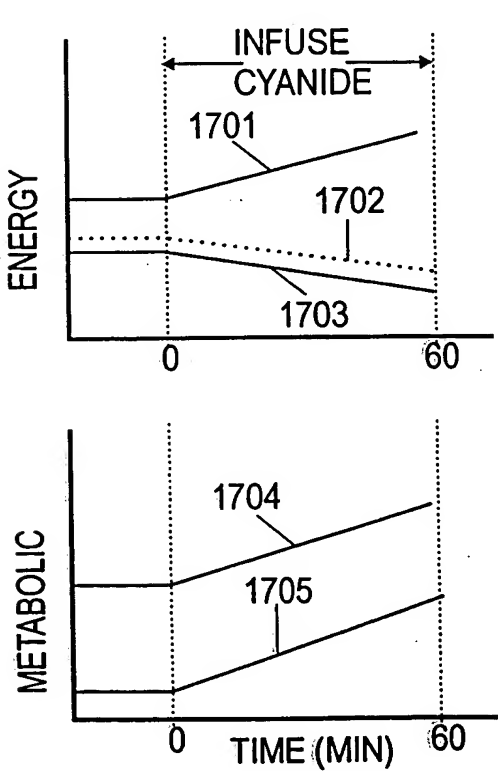


Fig. 17B

23/41

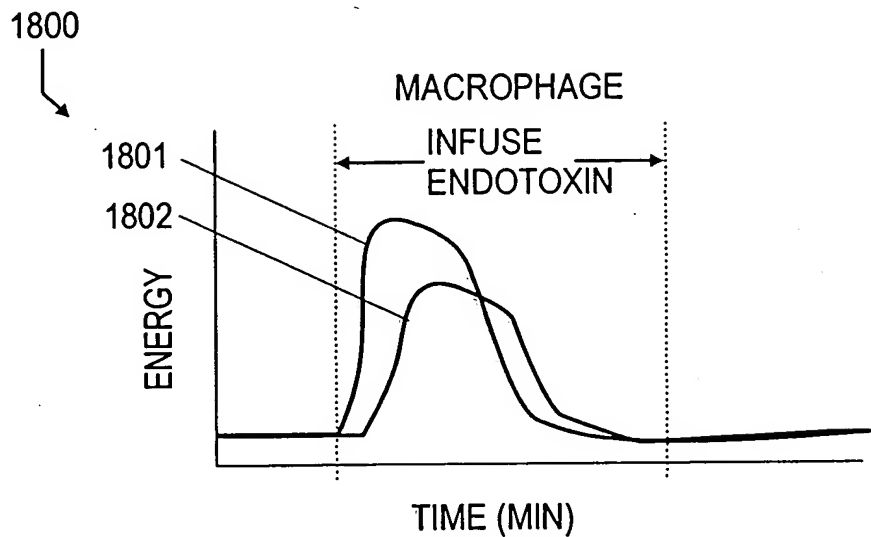


Fig. 18A

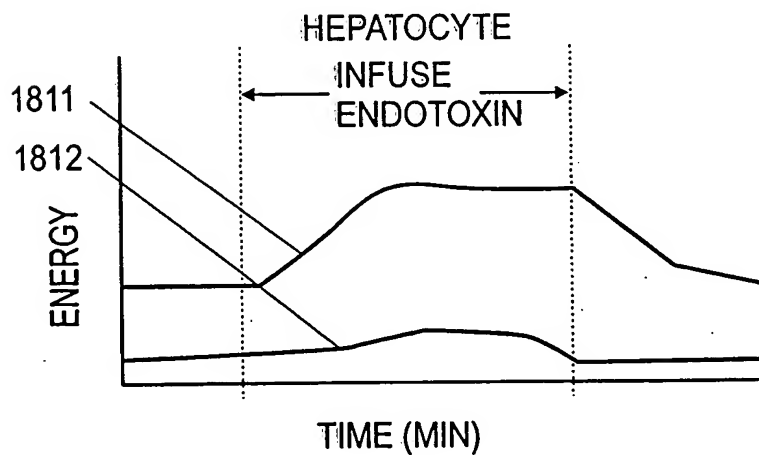


Fig. 18B

24/41

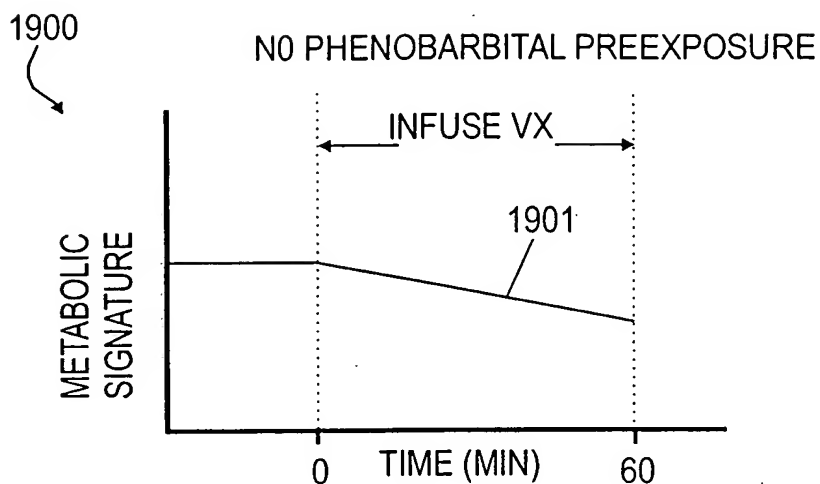


Fig. 19A

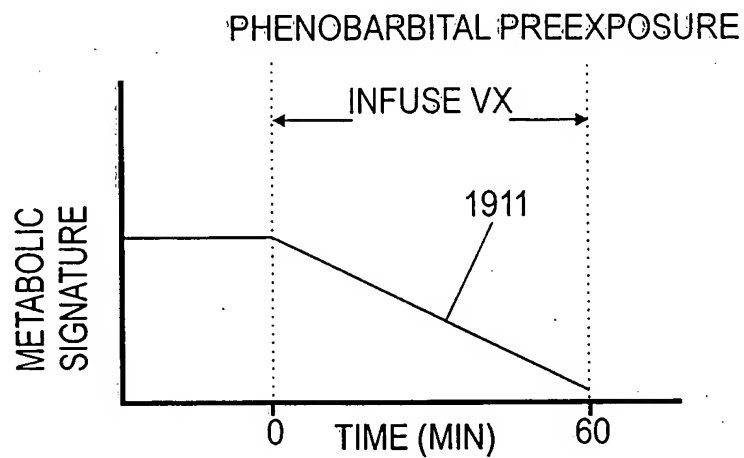


Fig. 19B



25/41

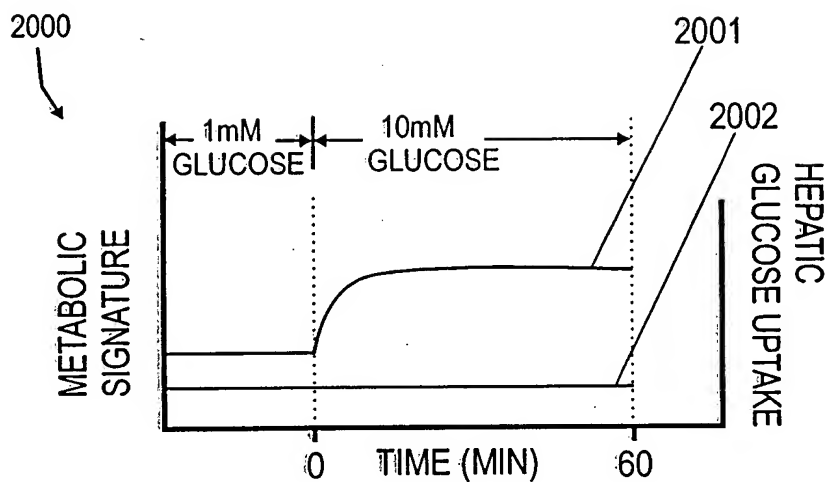


Fig. 20

26/41

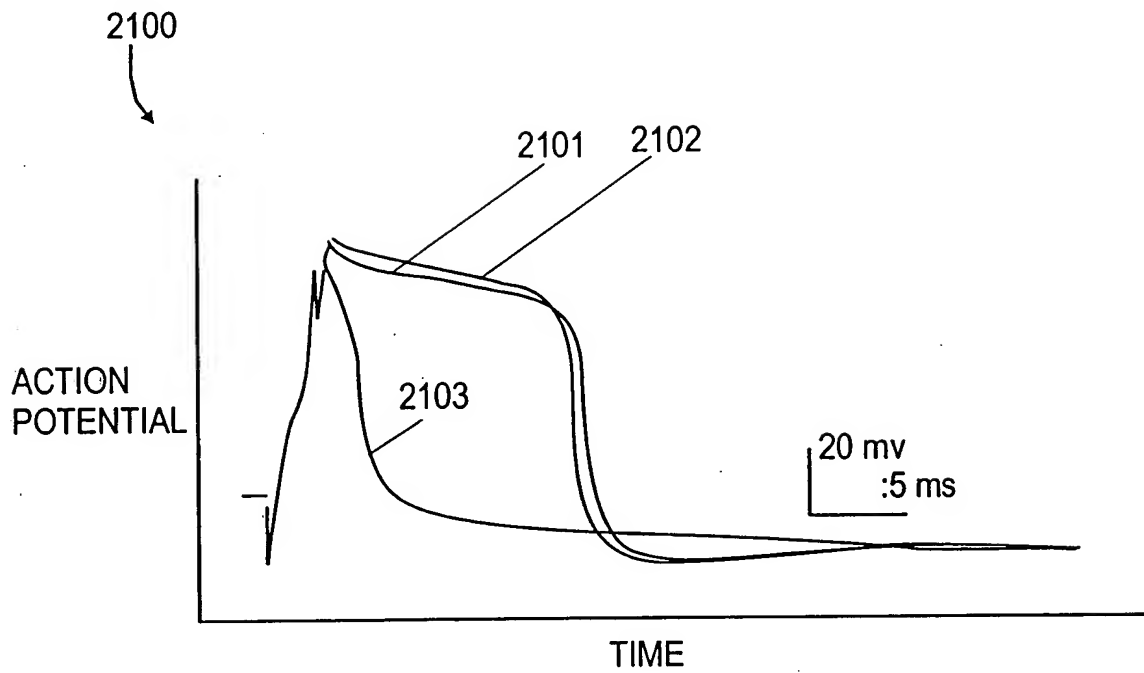
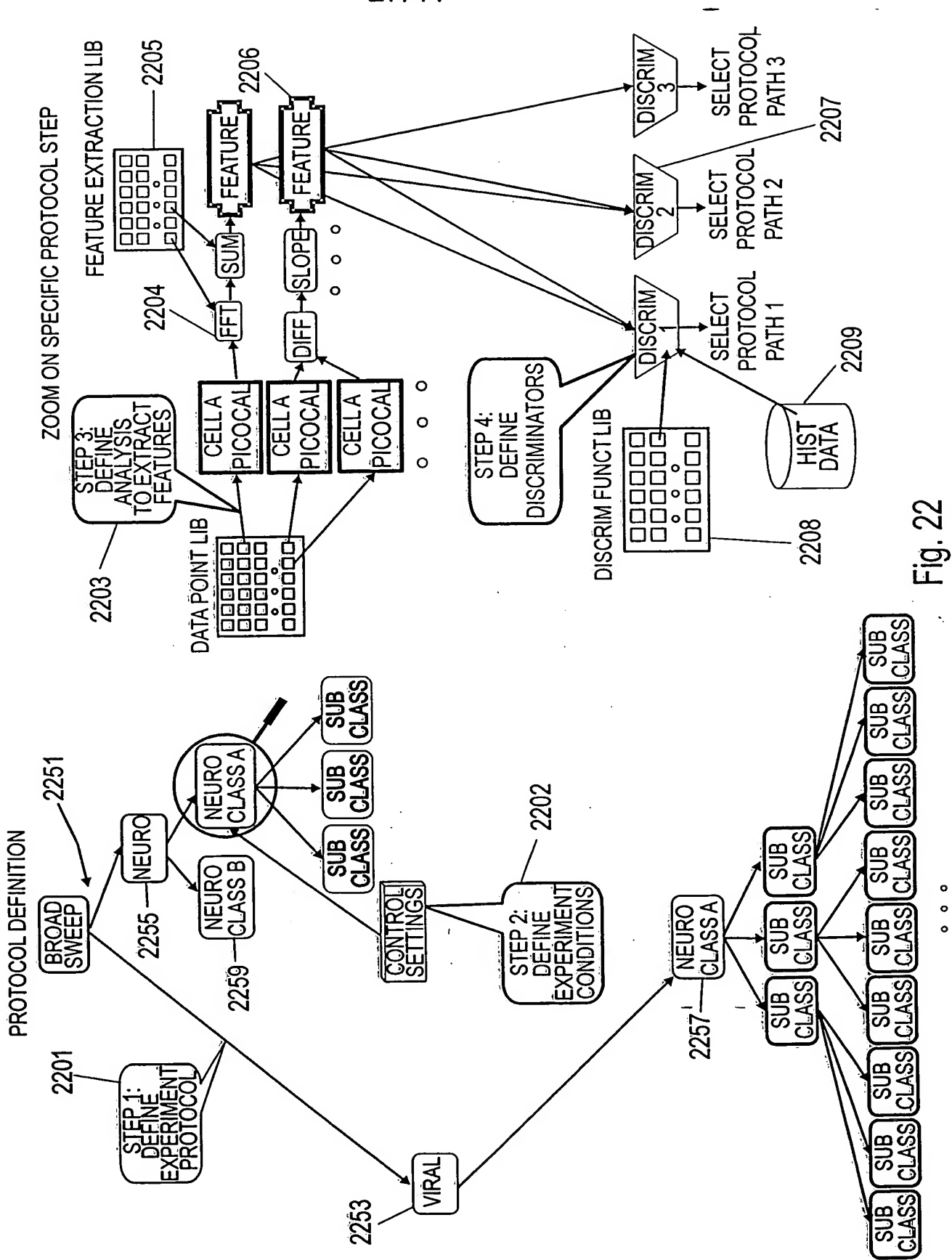


Fig. 21



28/41

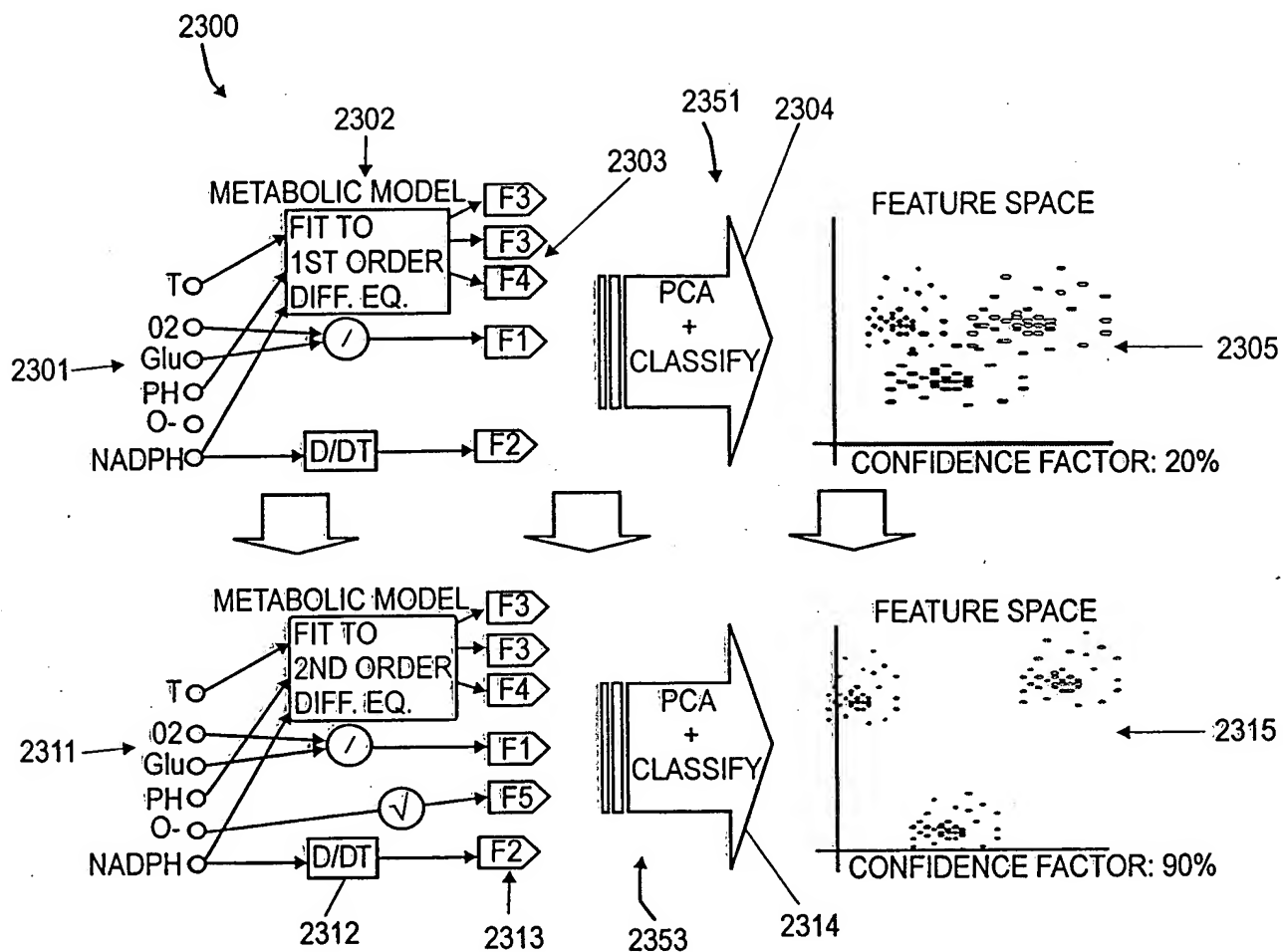


Fig. 23



30/41

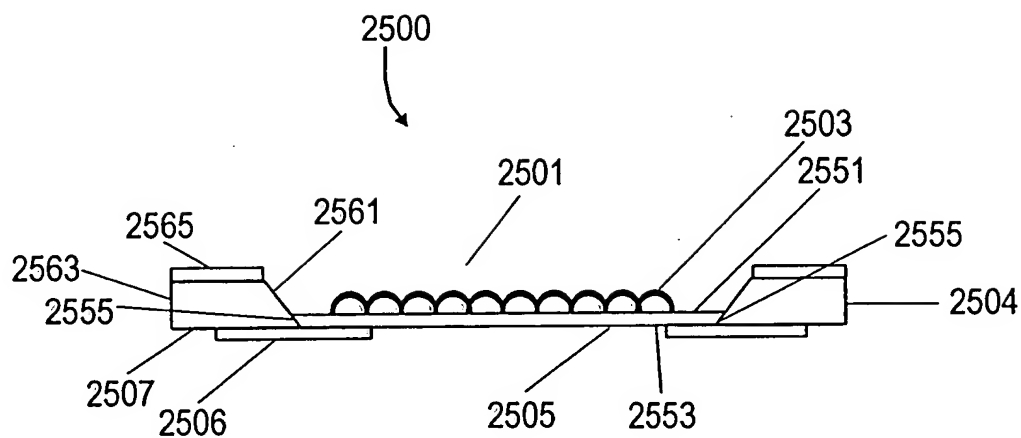


Fig. 25A

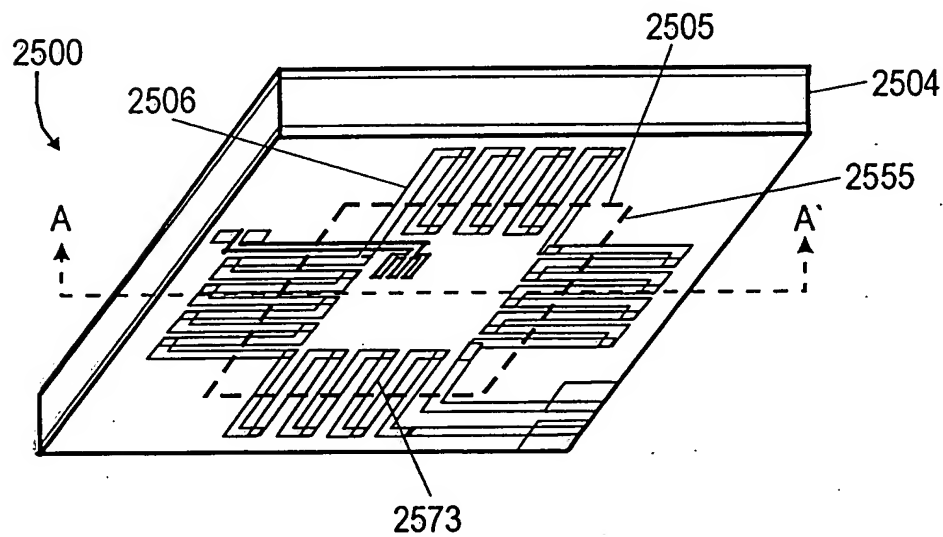


Fig. 25B

31/41

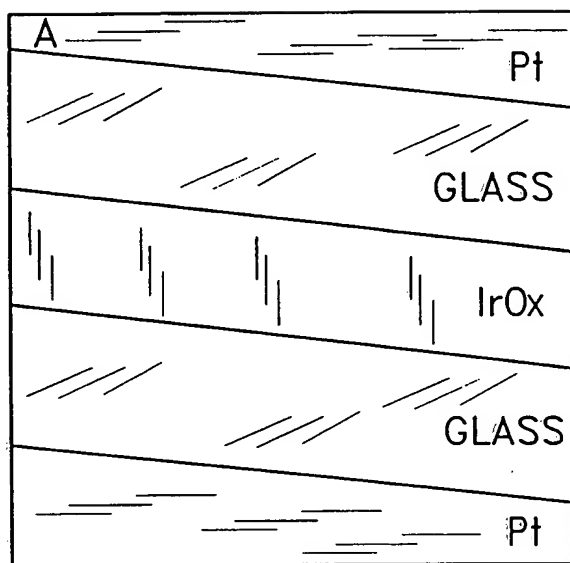


FIG.26A

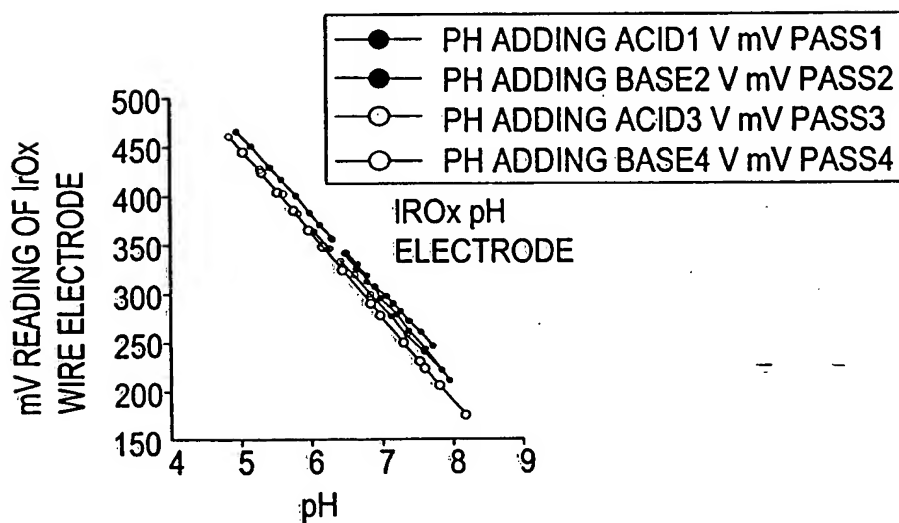


FIG.26B

32/41

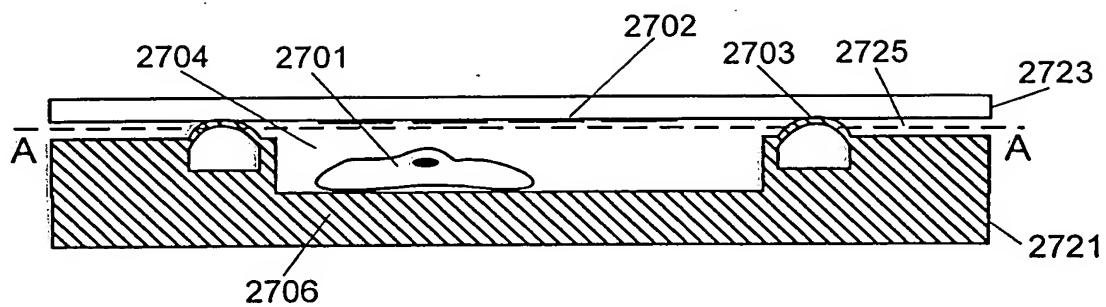


Fig. 27A

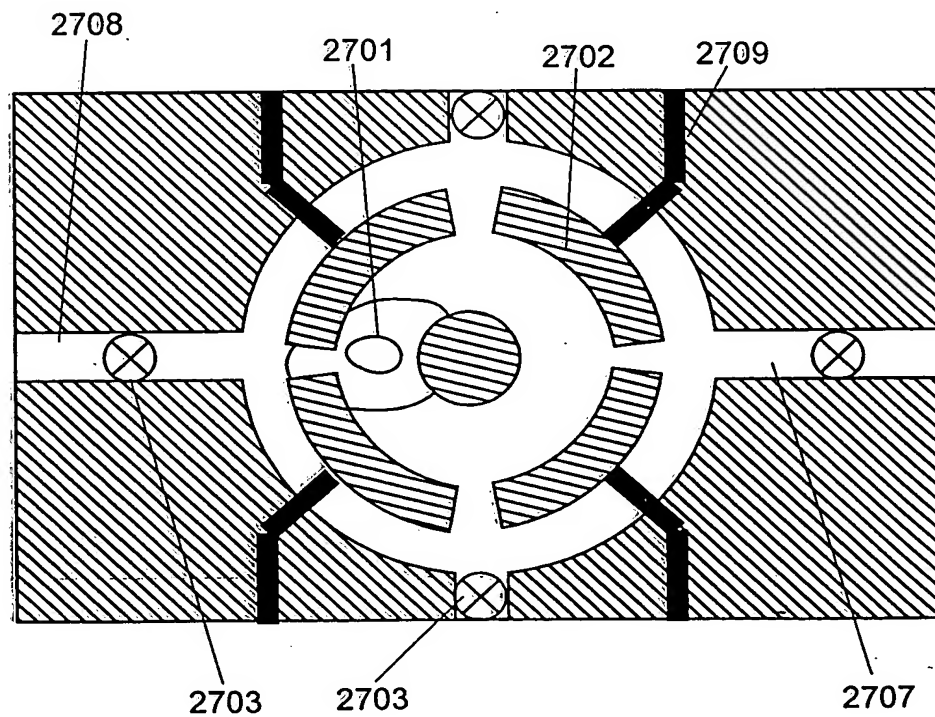


Fig. 27B



33/41

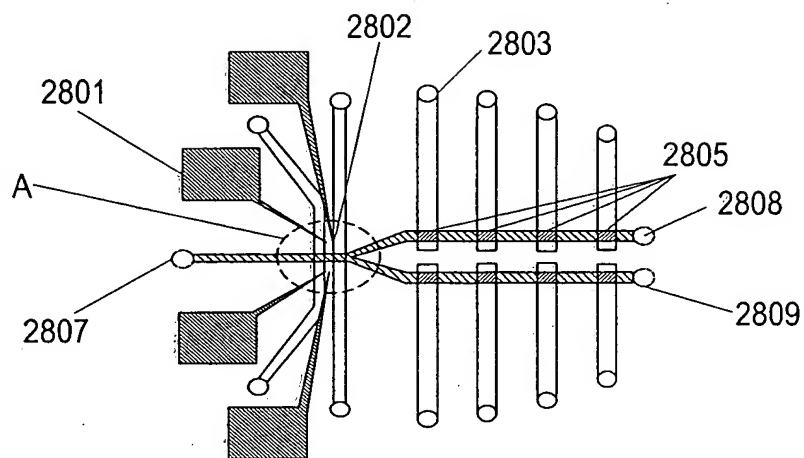


FIG. 28A

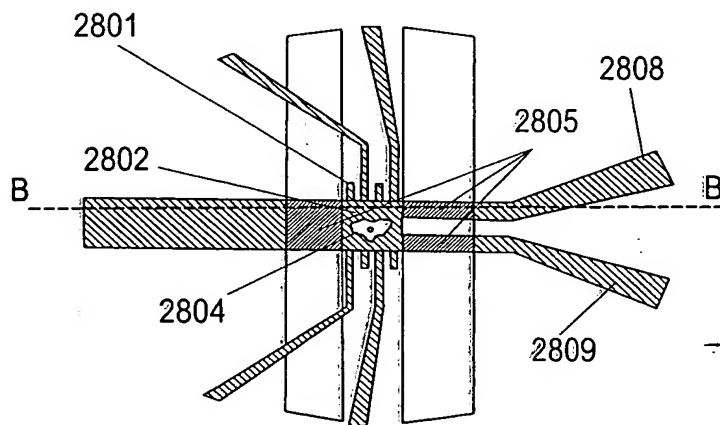


FIG. 28B

34/41

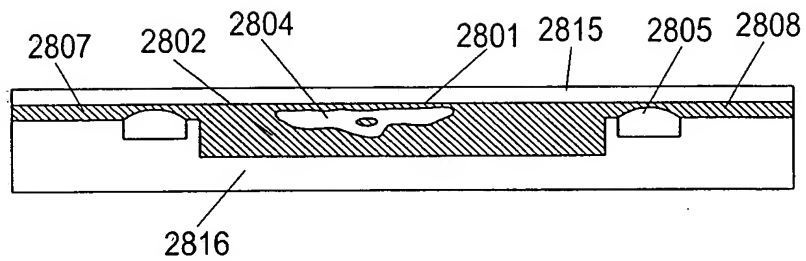


FIG.28C

35/41

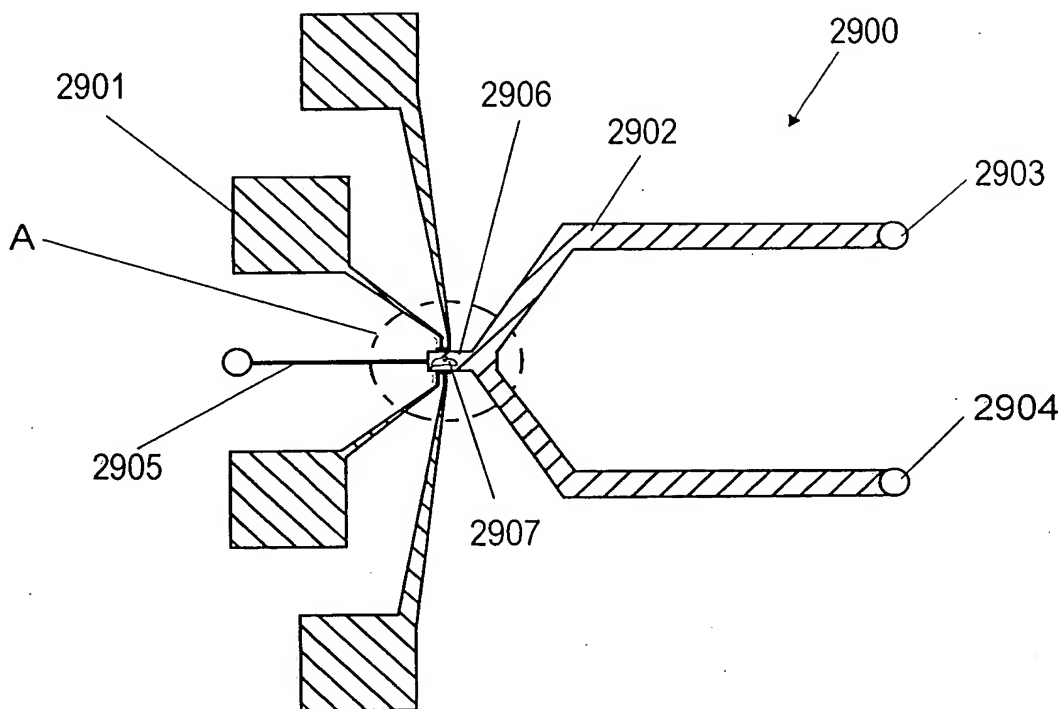


Fig. 29A

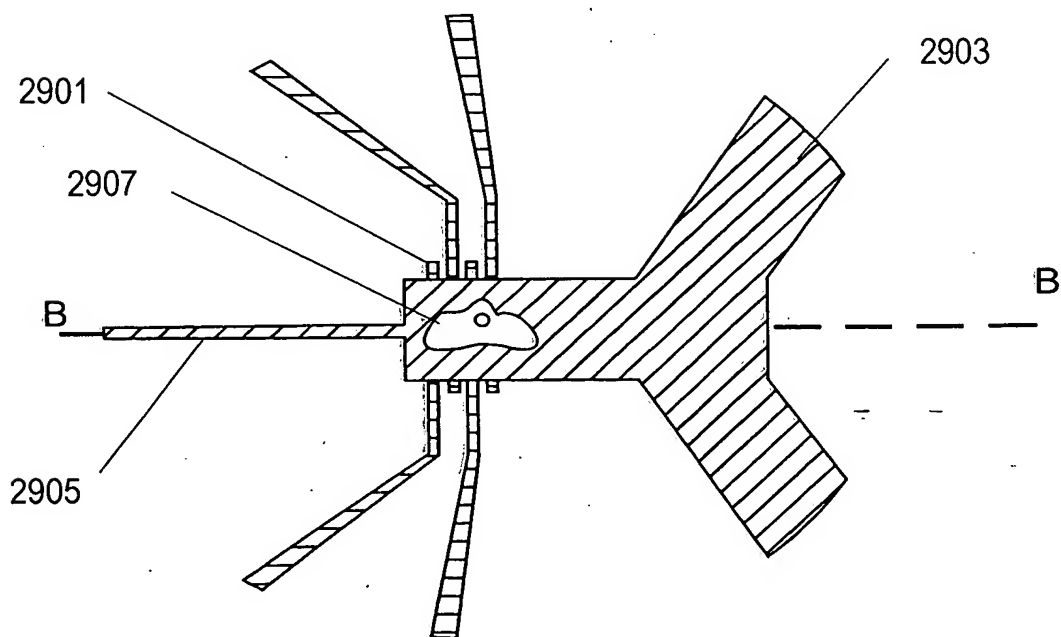


Fig. 29B

36/41

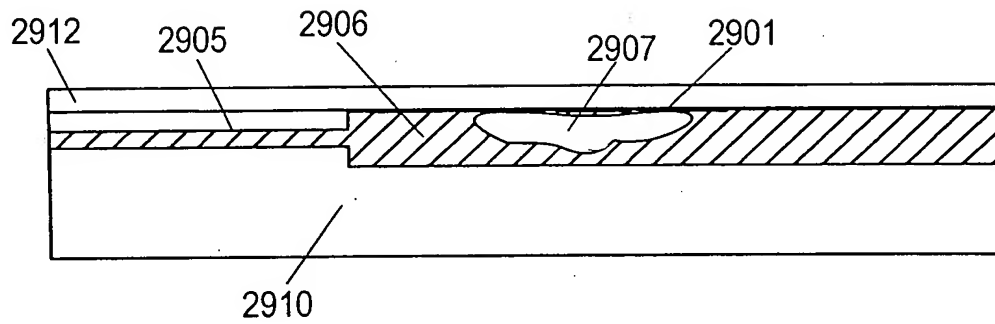


Fig. 29C

37/41

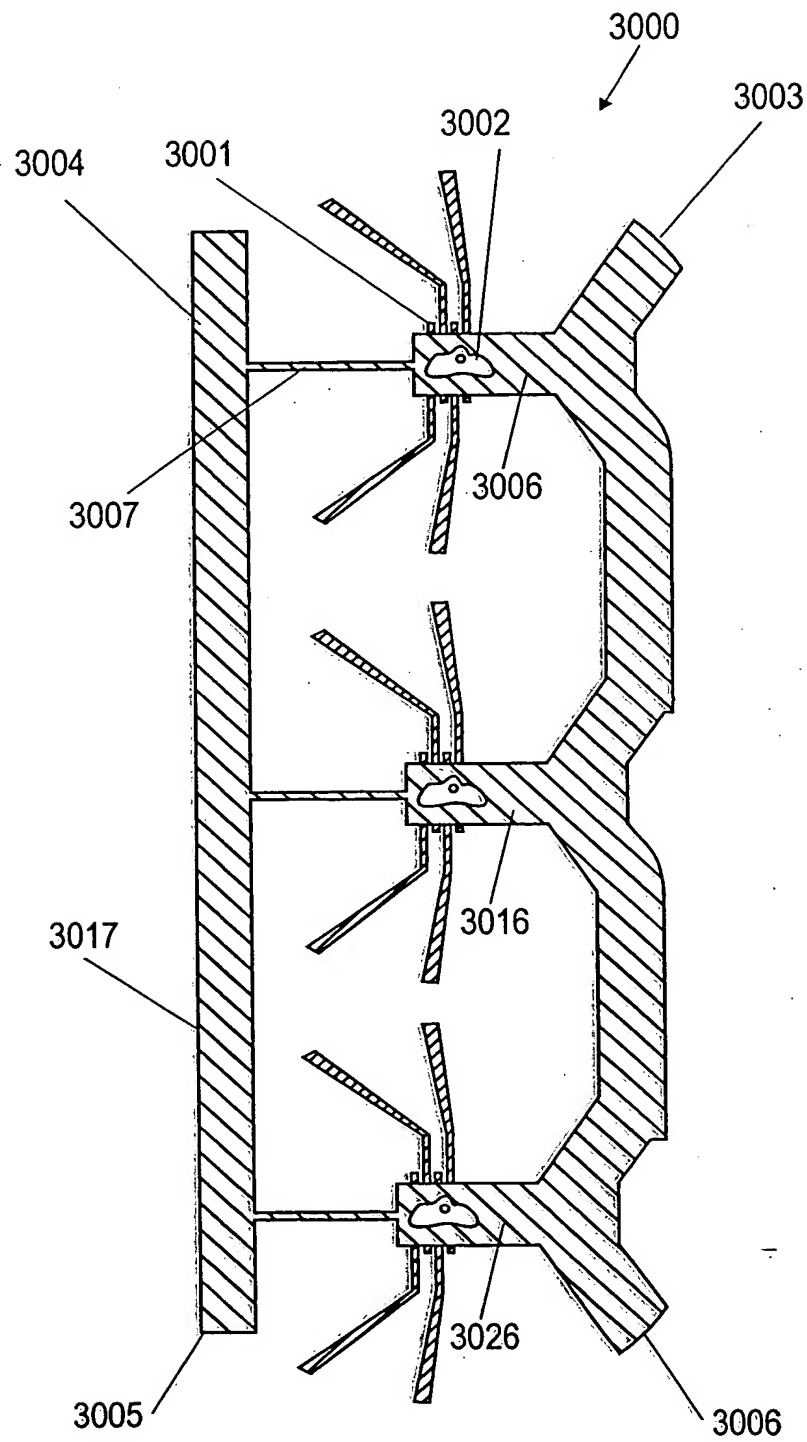


Fig. 30

38/41

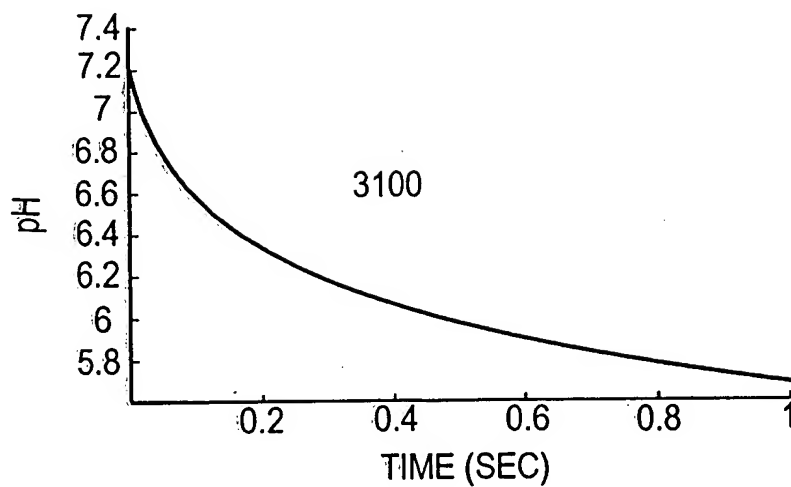


Fig. 31A

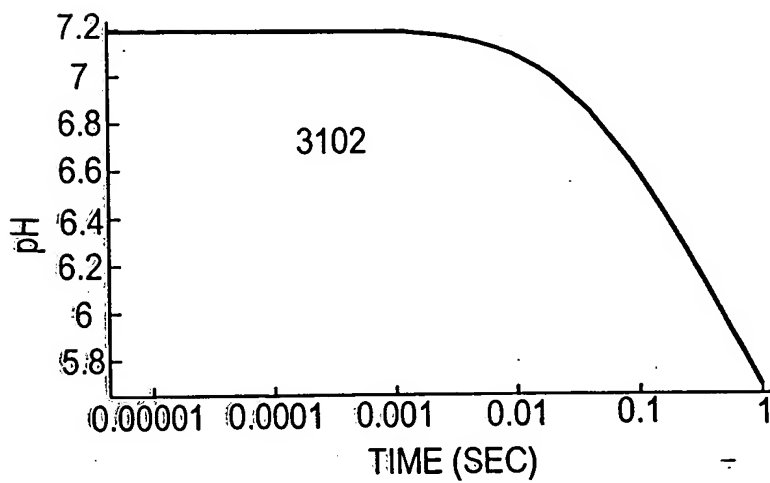


Fig. 31B

39/41

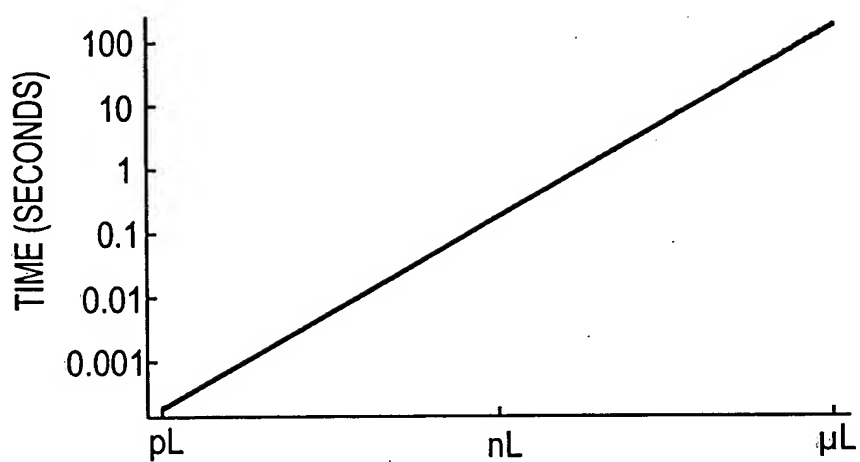


Fig. 31C

40/41

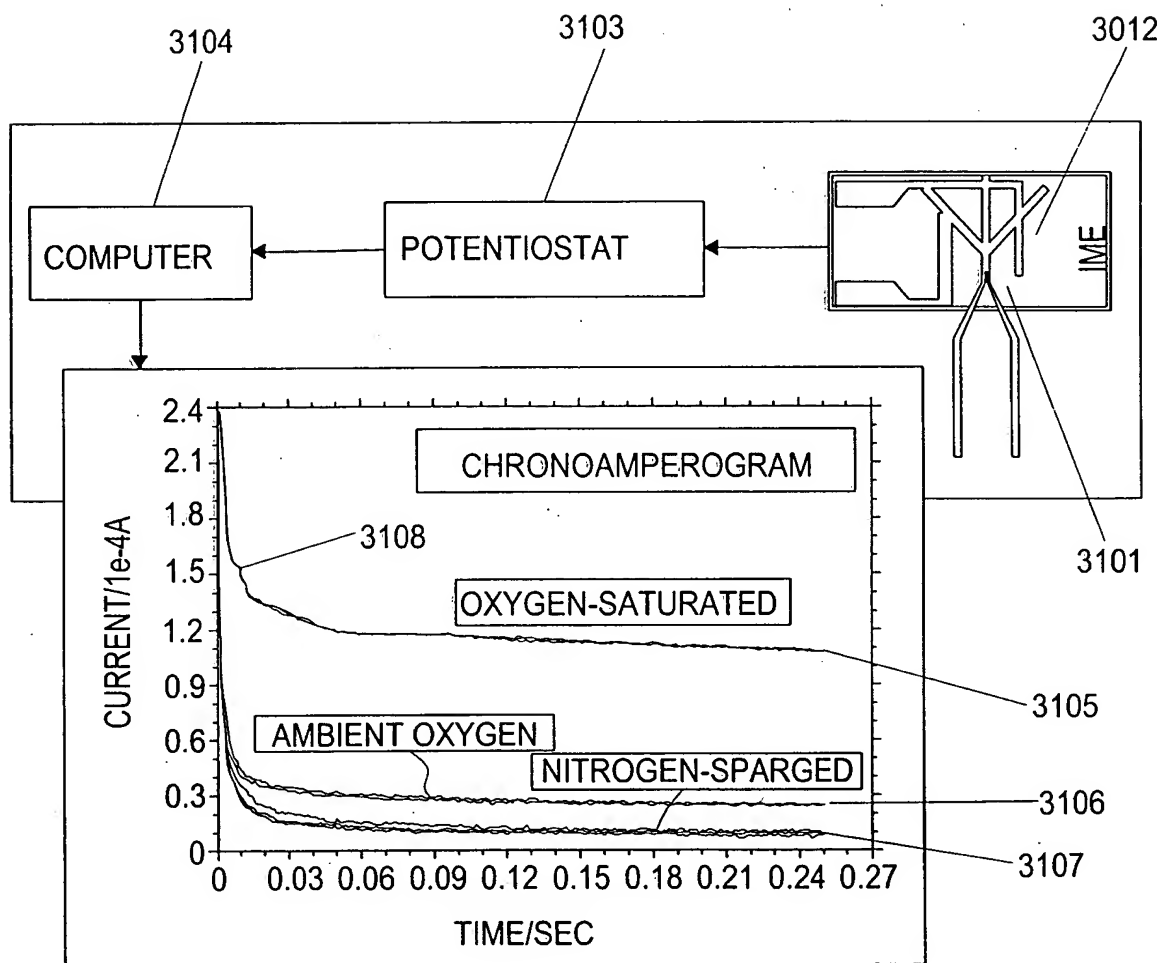


Fig. 31D



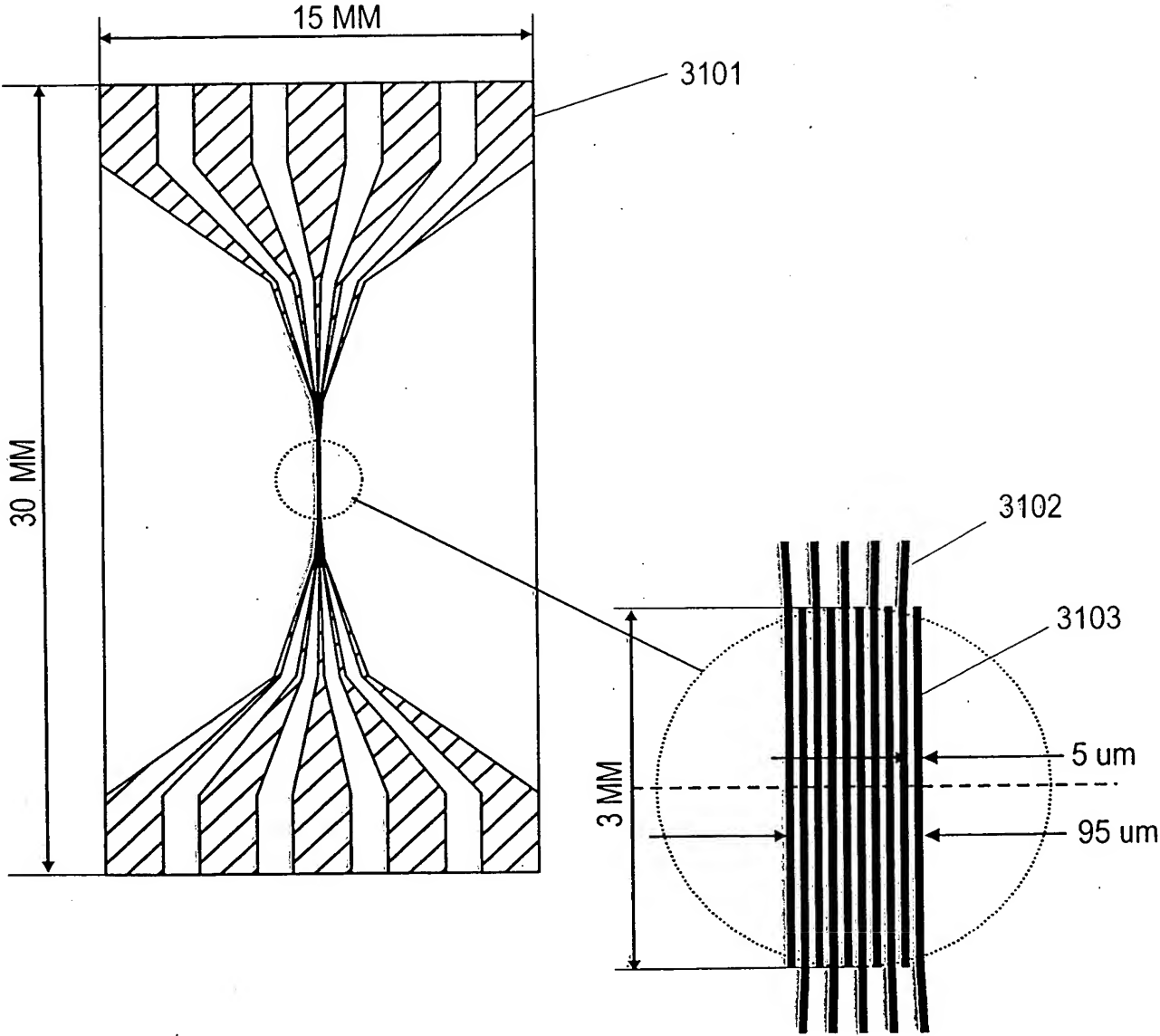


Fig. 31E